



Universidade Federal Rural do Rio de Janeiro

Absorção e Metabolismo de Nitrogênio em Plantas

Sonia Regina de Souza
Prof^a.Associada IV-Bioquímica

Setembro/2014

Nitrogênio

- É um dos nutrientes requeridos em maiores quantidades

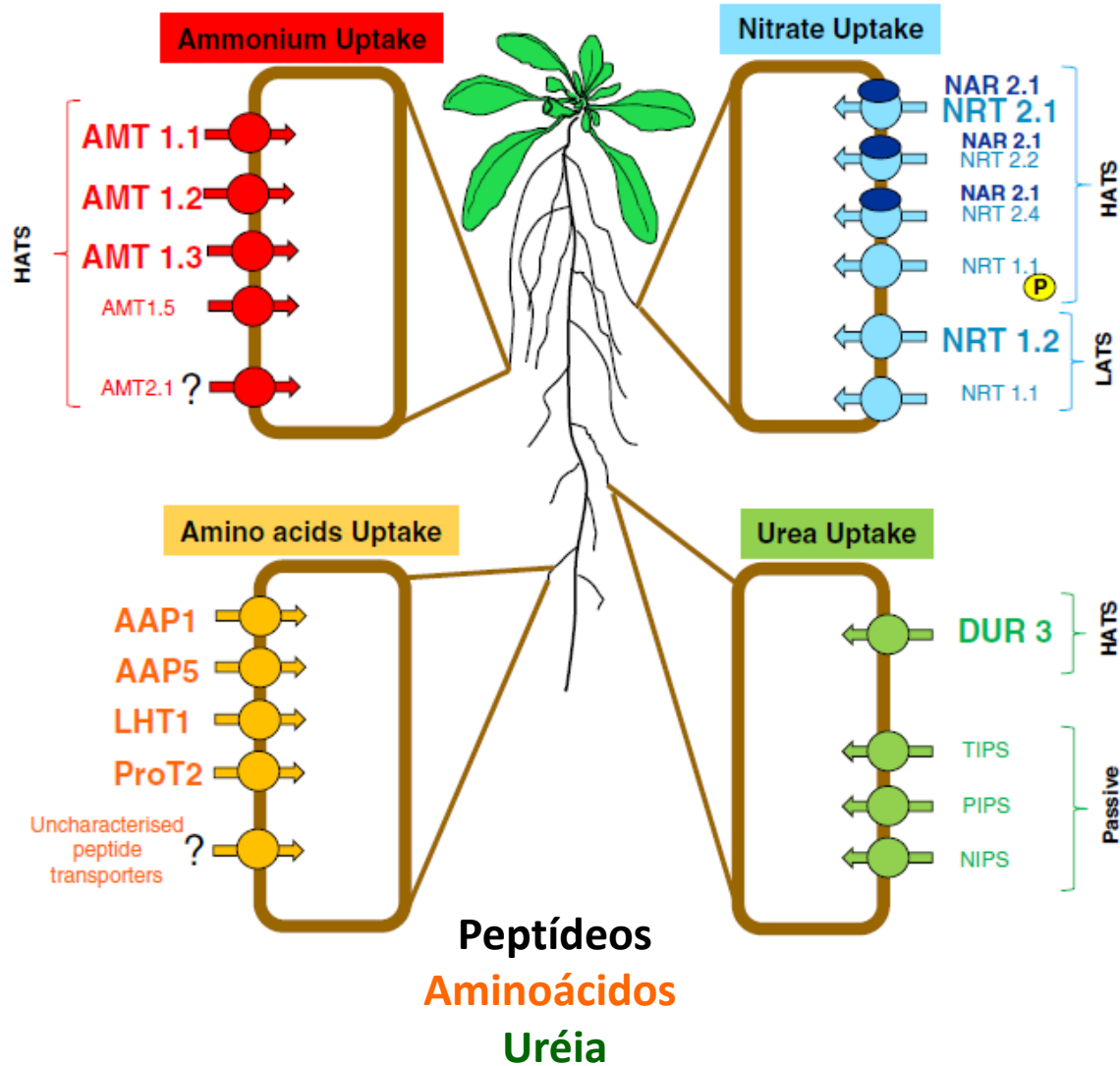
Disponibilidade no solo ↓

Aplicação de N ↑

❖ Até 70% do N aplicado = perdido

“Eficiência de Absorção e Uso de N pelas Plantas”

N absorvido: orgânica ou inorgânica

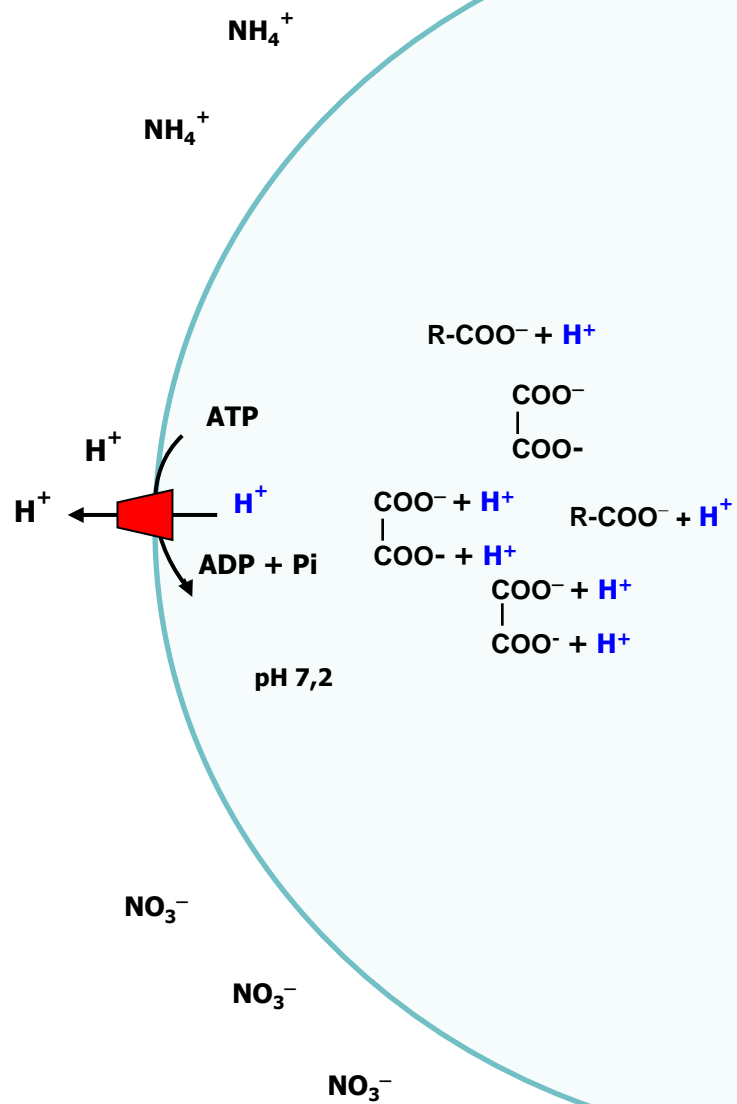


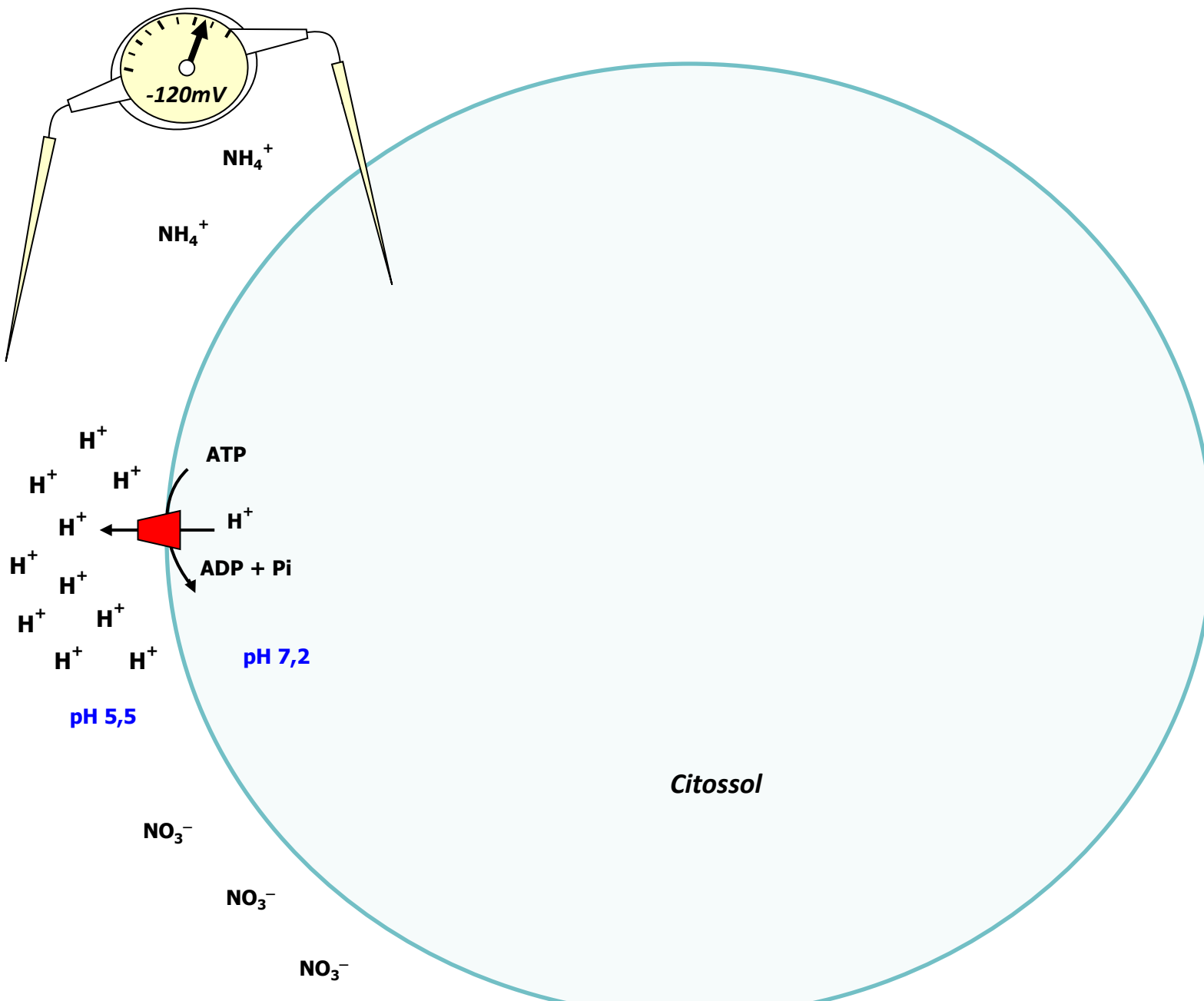
Principais formas absorvidas:

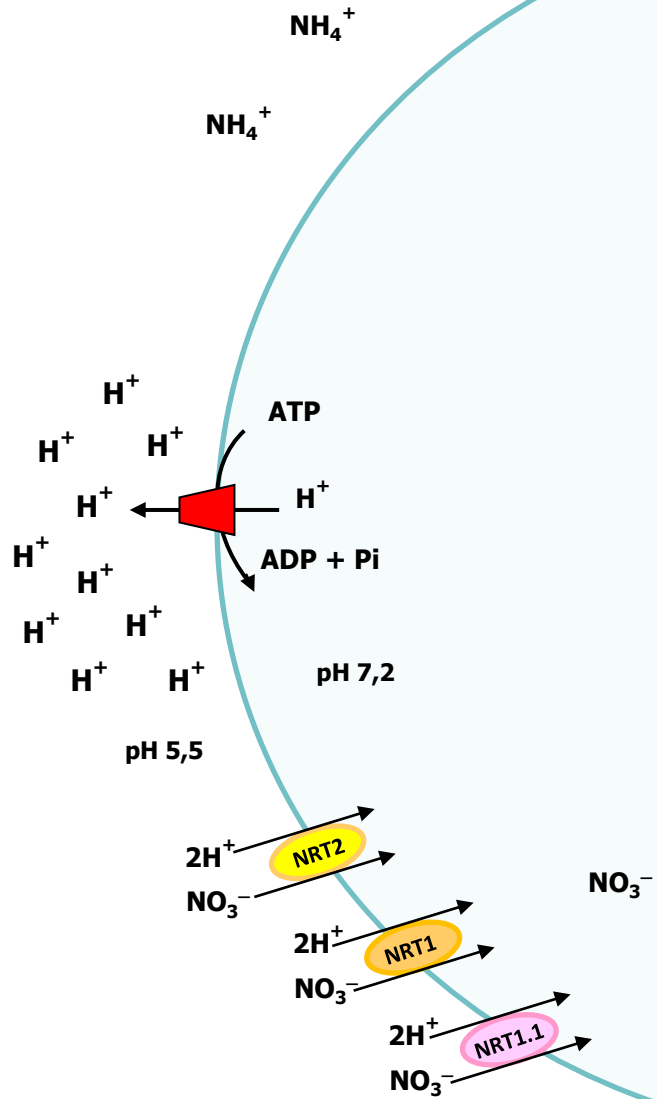
NH_4^+ e NO_3^-

Absorção

**P-H⁺-ATPases
de
Membrana plasmática**



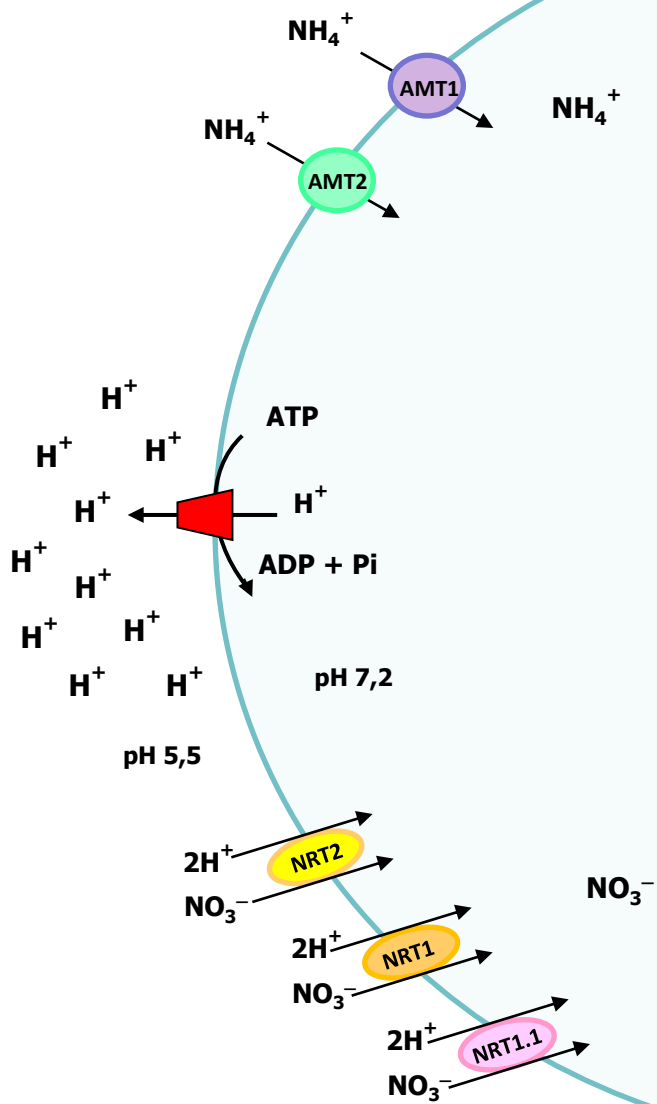




**Transportadores
de NO_3^-**

Transportadores

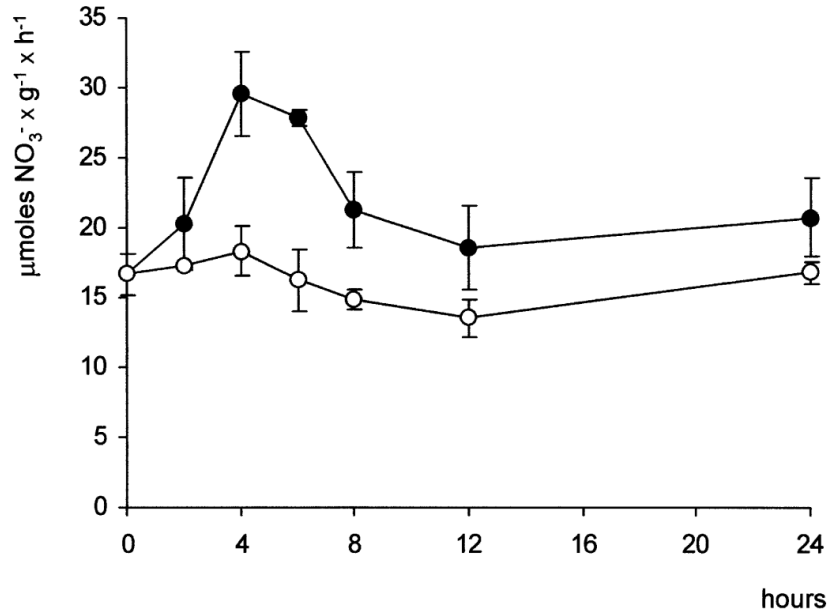
de NH_4^+



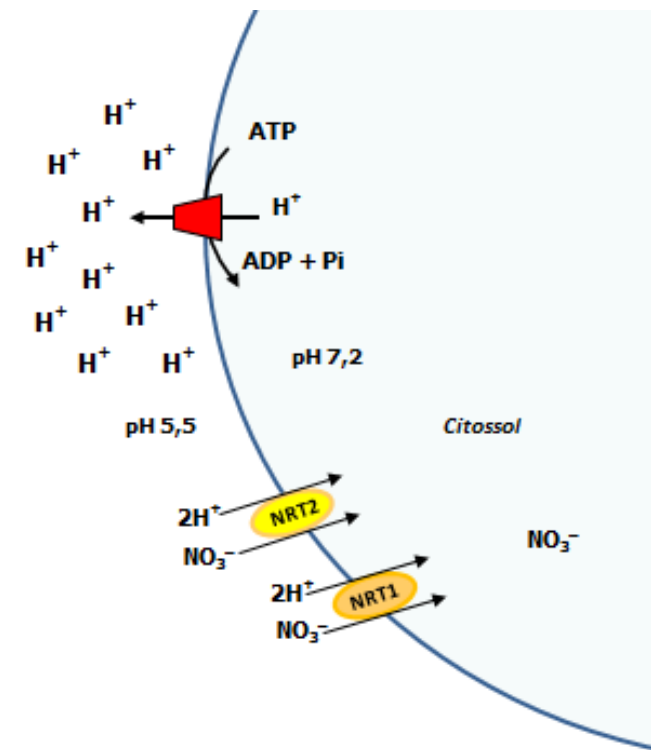
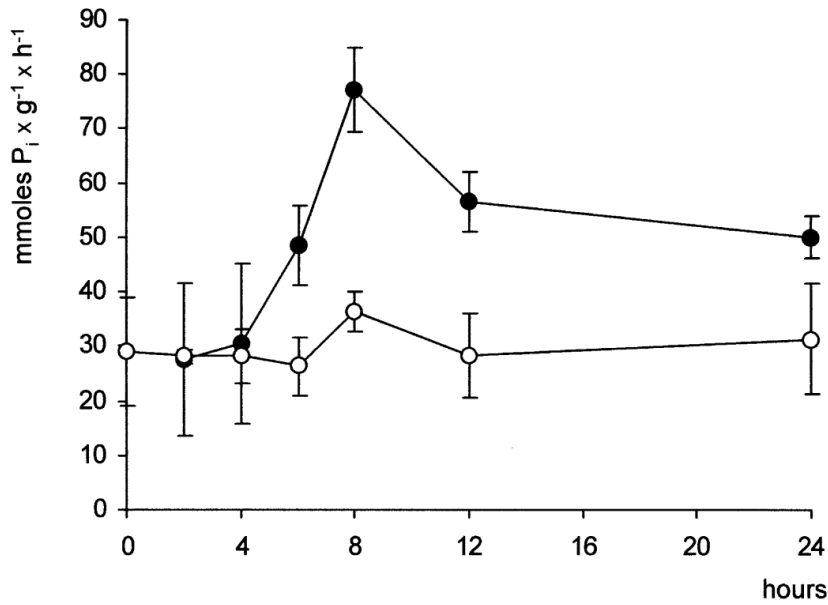
Citossol

Absorção de NO_3^- x Atividade de P-H⁺-ATPase

Absorção de NO_3^-



Atividade das P-H⁺-ATPase



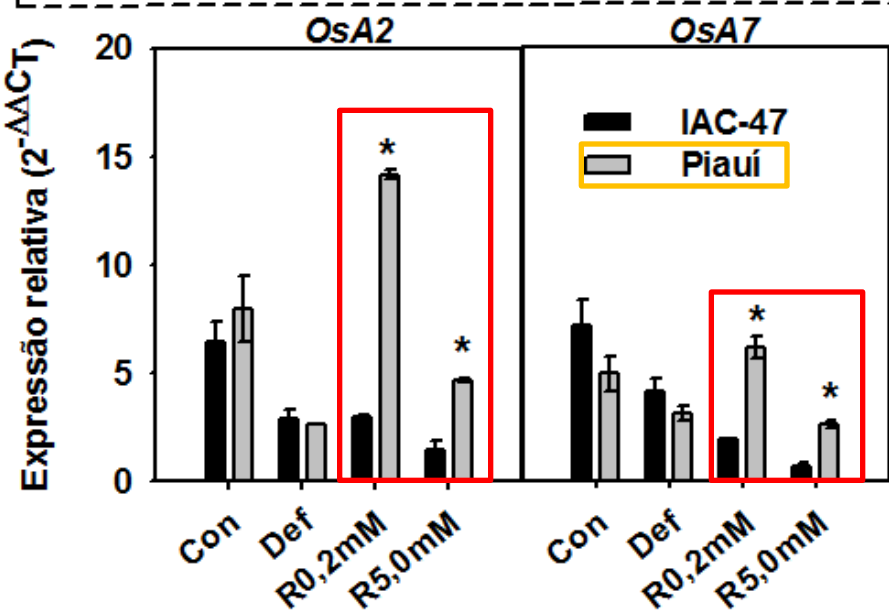
Santi et al. (2003)

Expressão gênica de isoformas de P-H⁺-ATPases (*OsA2* e *OsA7*)

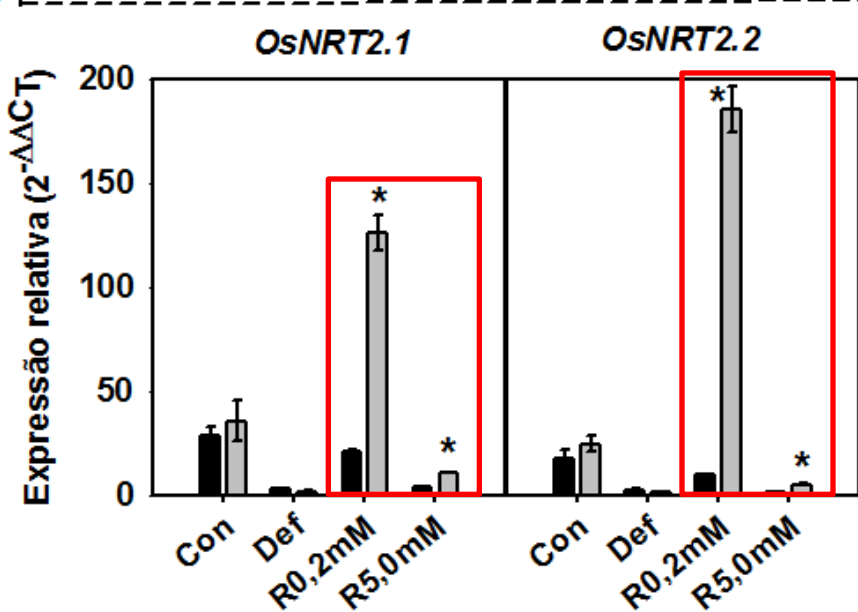
X
NRT2.1 e *NRT2.2* em arroz



(a) PM H⁺-ATPase



(b) Transportador de NO₃⁻ de alta afinidade

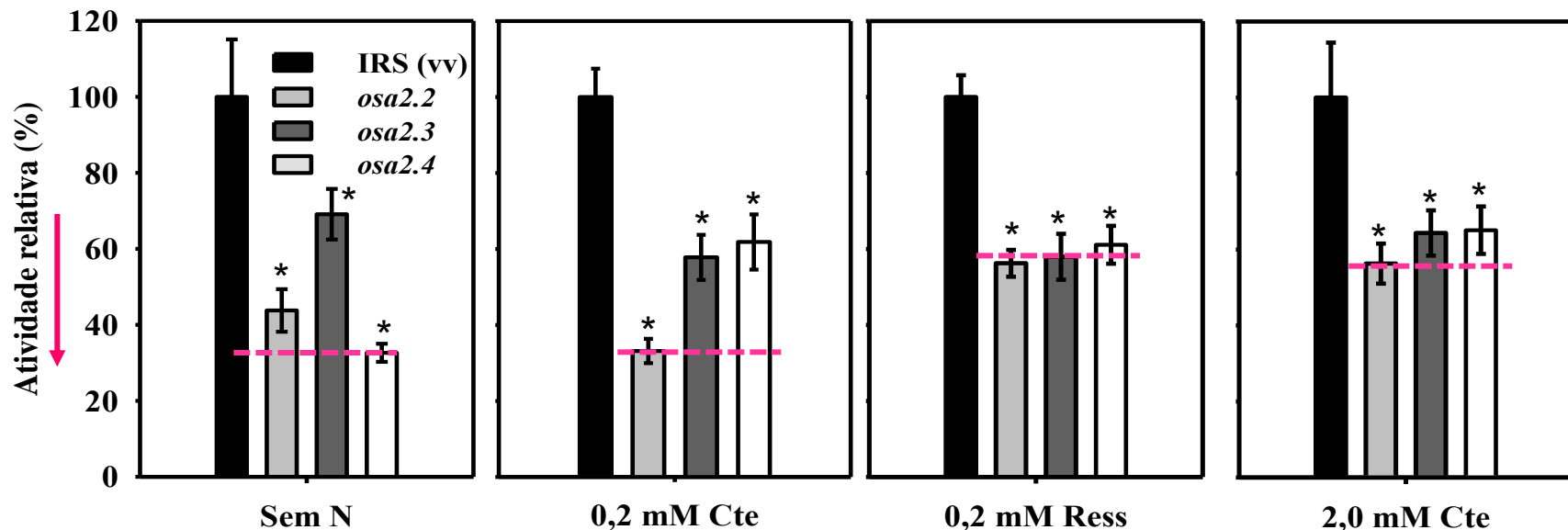


Maior expressão em baixa dose de NO₃⁻

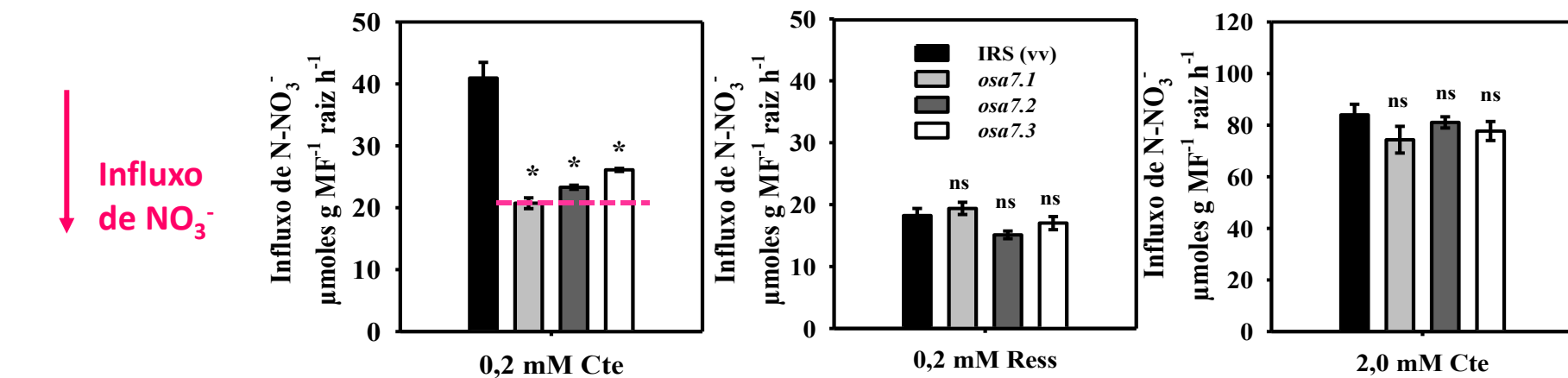
Silenciamento de P-H⁺-ATPase *osa 7* por amiRNA

Atividade das P-H⁺-ATPases e influxo de NO₃⁻ em mutantes de arroz *osa7*

Atividade da PM H⁺-ATPase ($\mu\text{mol Pi mg}^{-1}$ proteína h^{-1})



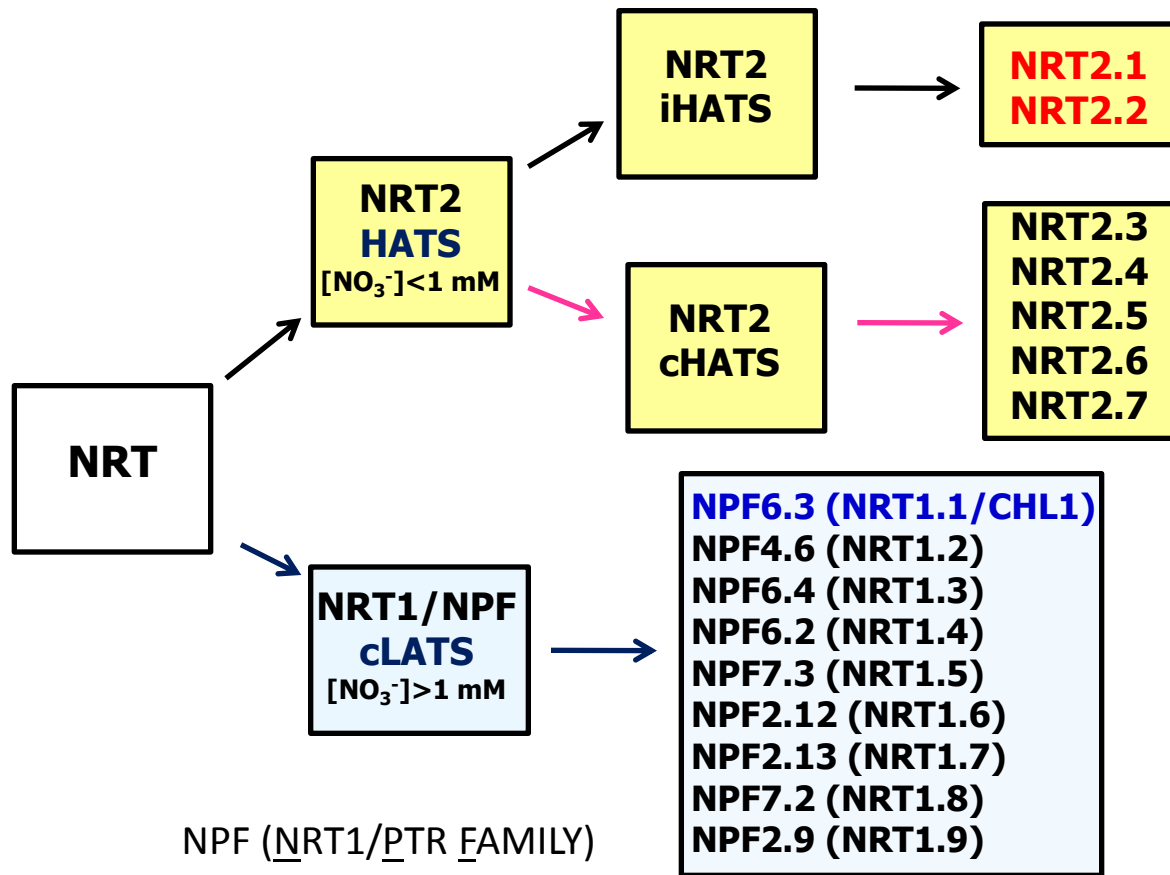
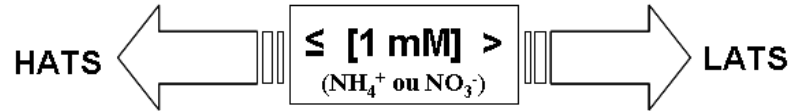
Experimento mutantes *osa7*



Sperandio MVL (em andamento)

Absorção de NO_3^-

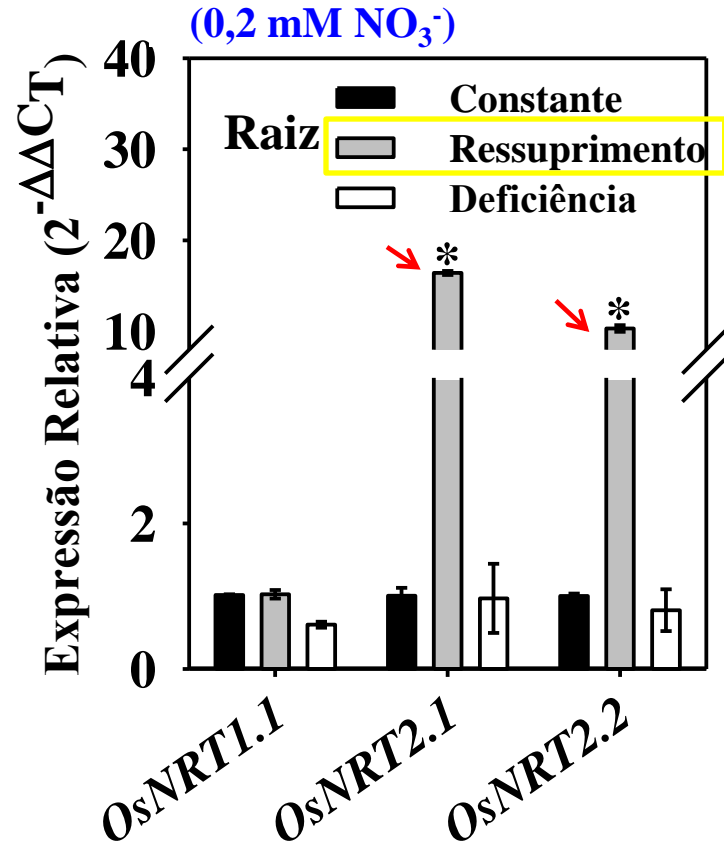
Transportadores de NO_3^-



Transportadores de NO_3^- de alta afinidade:

OsNRT2.1 e OsNRT2.2

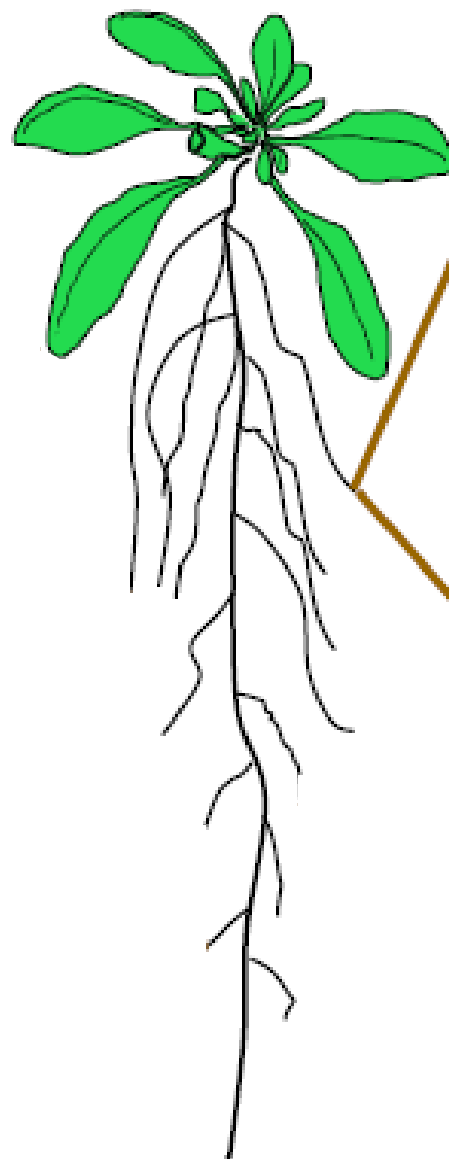
> Expressão gênica em baixo N



Proteína Regulatória

NAR2.1

e
NRT2.1



Nitrate Uptake

Proteína NAR 2.1

NAR 2.1
NRT 2.1

NAR 2.1
NRT 2.2

NAR 2.1
NRT 2.4

NRT 1.1
P

NRT 1.2

NRT 1.1

alta afinidade

HATS

LATS

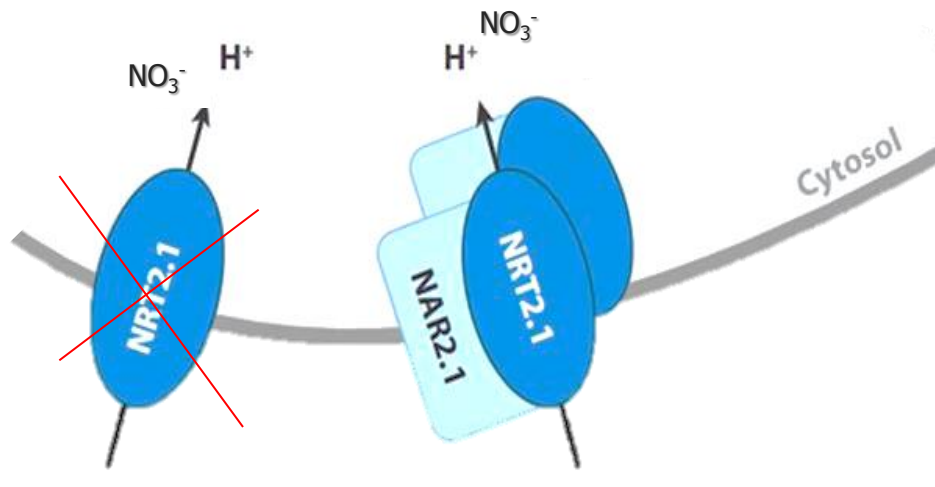
Nacry et al., 2013

Proteína Regulatória NAR2.1

E a absorção sob baixo N

e

NRT2.1



Alta afinidade

NO_3^- NO_3^-

NO_3^-
Baixo N

Expressão de *OsNRT2.1*, *OsNRT2.2* e *OsNAR2.1* em variedades de arroz X Absorção de NO_3^-

Relative Expression ($2^{-\Delta\Delta CT}$)

0.2 mM NO_3^- -N (resupply)

OsNRT2.1

OsNRT2.2

OsNAR2.1

IAC-47
Piauí

Time (h)

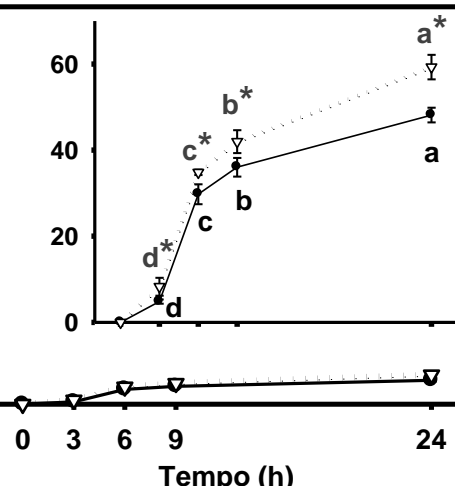
Time (h)

Time (h)

Teor de NO_3^- na planta

0,2 mM N- NO_3^- (ressuprimento)

$\mu\text{mol N-}\text{NO}_3^- \text{ g}^{-1} \text{ MF}$



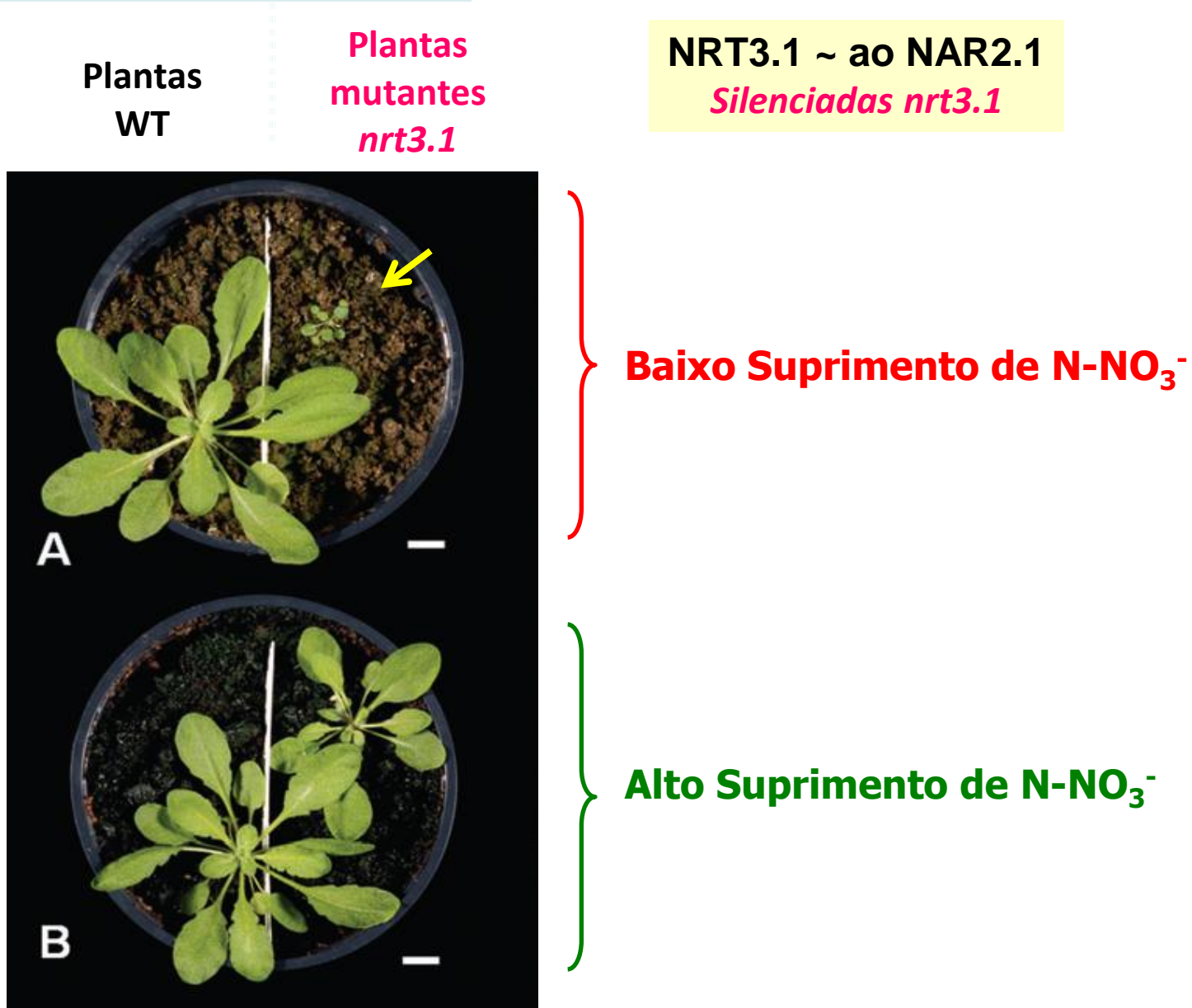
OsNRT2.1 e OsNRT2.2 X OsNAR2.1

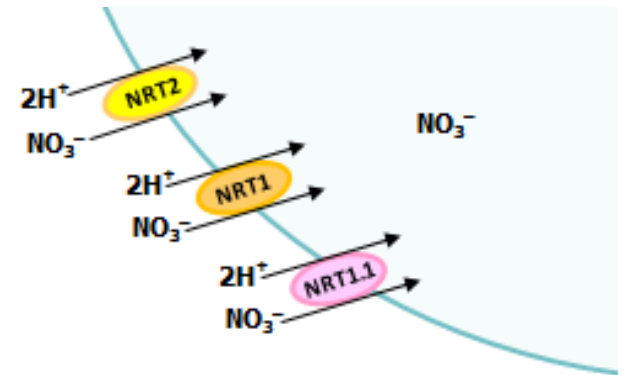
	IAC-47 variety	
Genes	<i>OsNRT2.1</i>	<i>OsNRT2.2</i>
<i>OsNRT2.2</i>	0.9423**	
<i>OsNAR2.1</i>	0.9030**	0.8665**
Piauí variety		
<i>OsNRT2.2</i>	0.9385**	
<i>OsNAR2.1</i>	0.9358**	0.8727**

** $P < 0,01$

(Sperandio et al., 2014)

Silenciamento *nar2.1* em *Arabidopsis*





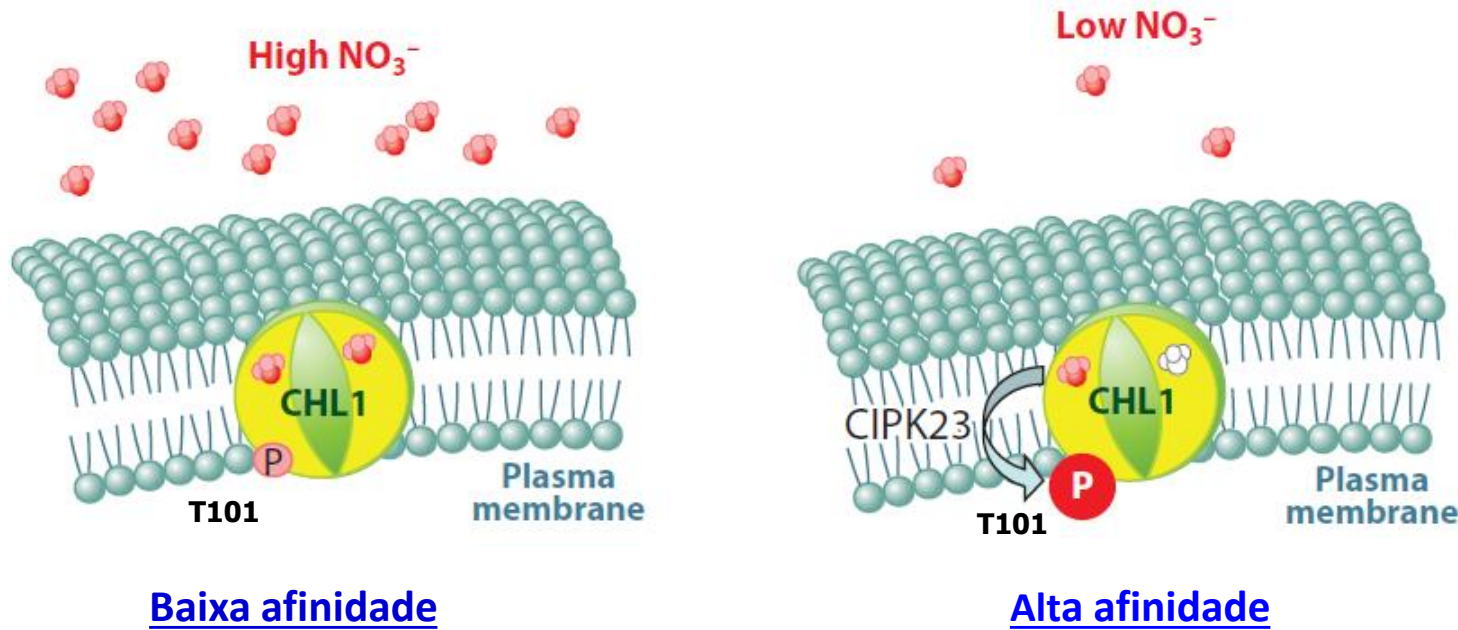
Transportador de nitrato de dupla afinidade CHL1 (NRT1.1)

Arabidopsis: NPF6.3

Arroz: NPF8.9

NPF (NRT1/PTR FAMILY)

Transportador de nitrato de dupla afinidade CHL1 (NRT1.1)

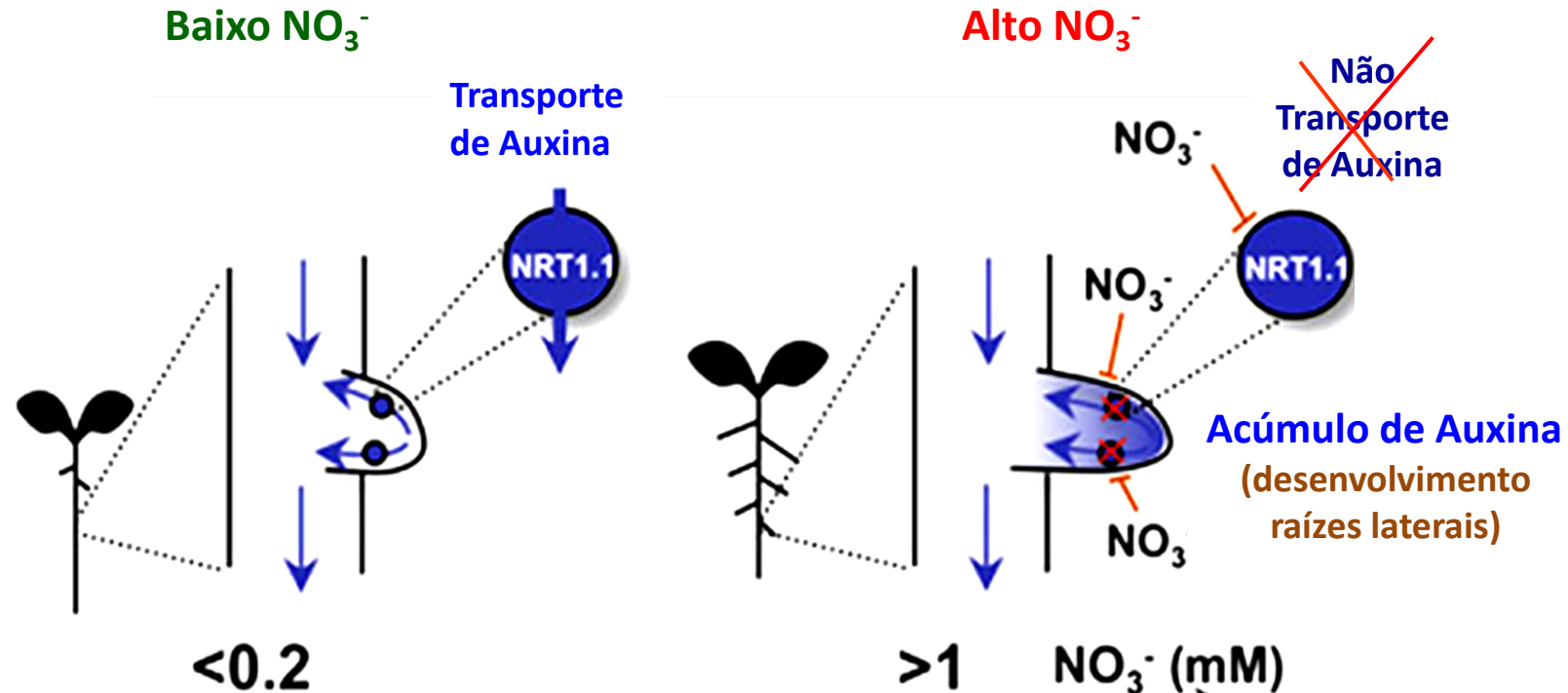


CIPK23 (calcineurin-like protein CBL-Interacting Protein Kinase 23)

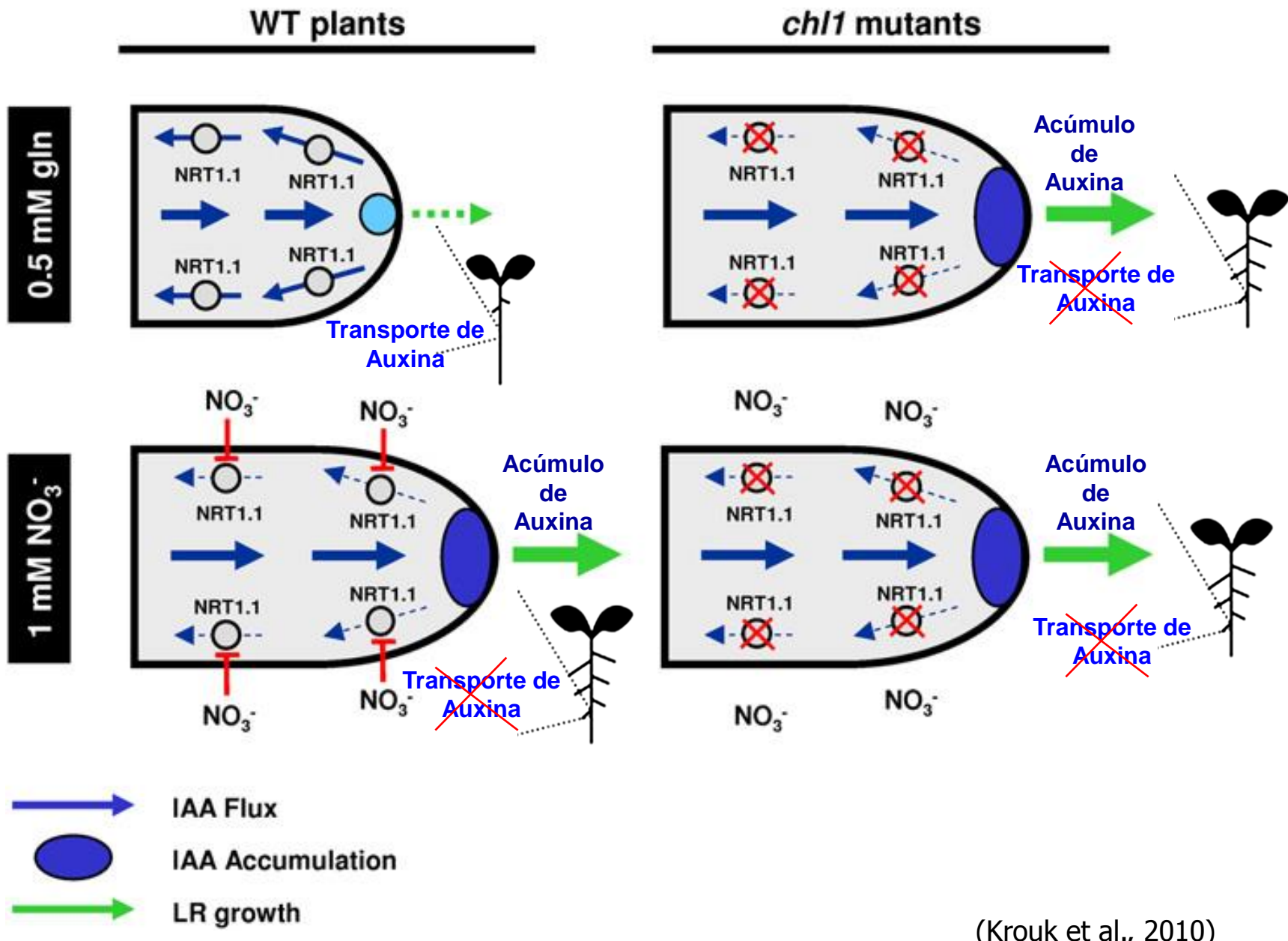
(Tsay et al., 2011)

O transceptor CHL1 (NRT1.1)

e o desenvolvimento de raízes laterais em resposta ao NO_3^-



Silenciamento de *chl1*

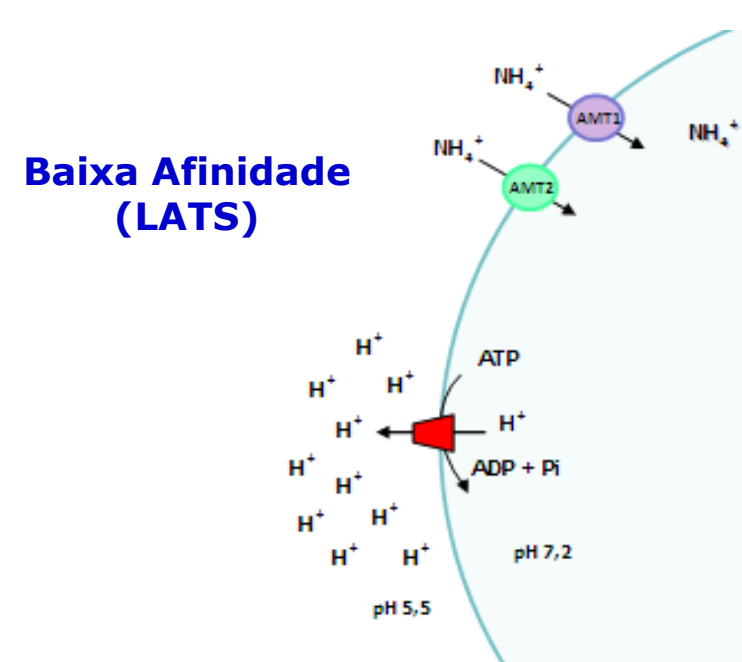
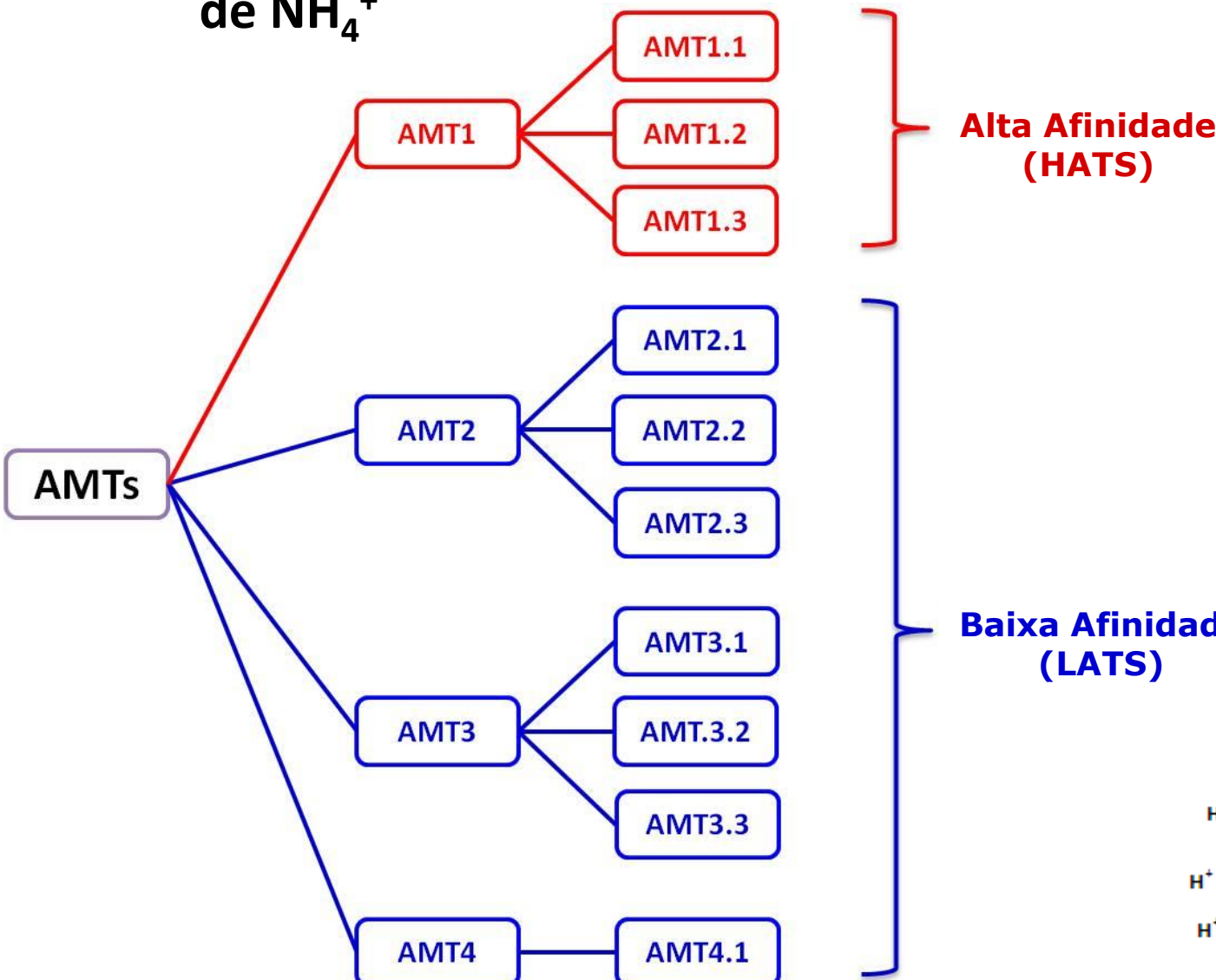


(Krouk et al., 2010)

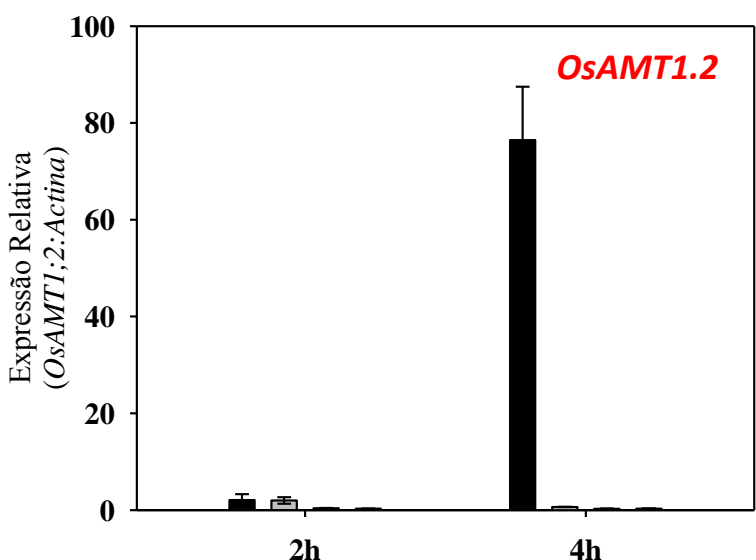
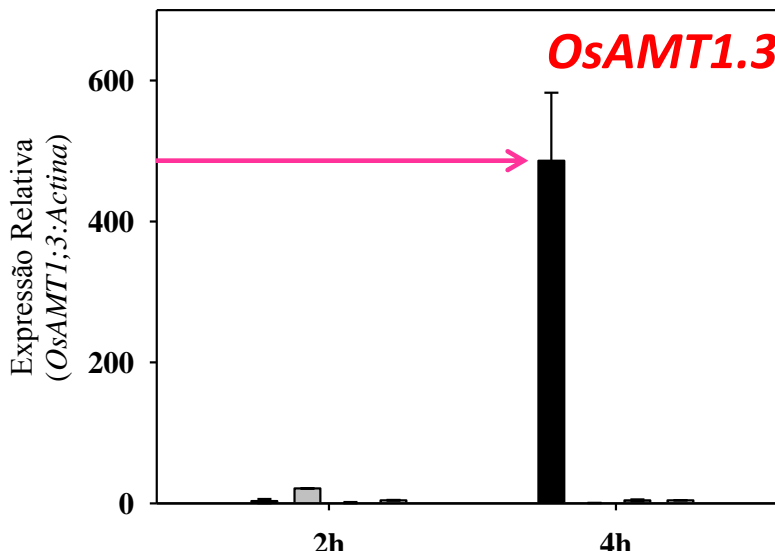
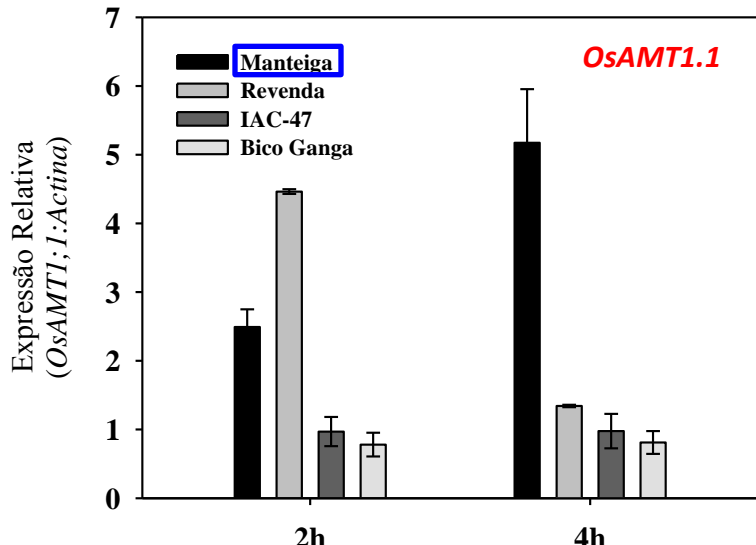
Absorção de NH₄⁺

Transportadores

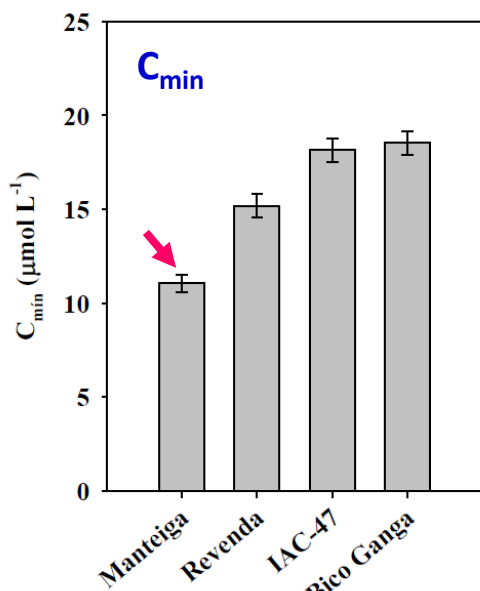
de NH_4^+



Variedade de arroz com maior eficiência de absorção sob baixo suprimento de NH_4^+ .



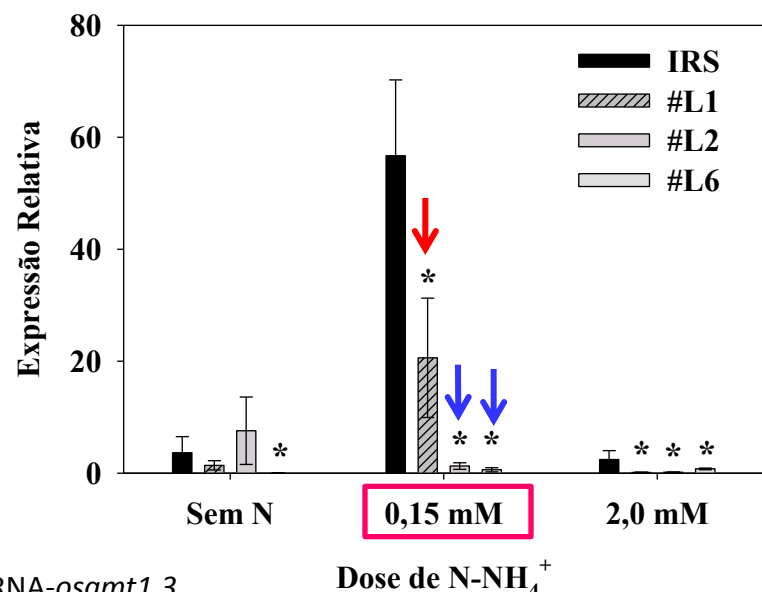
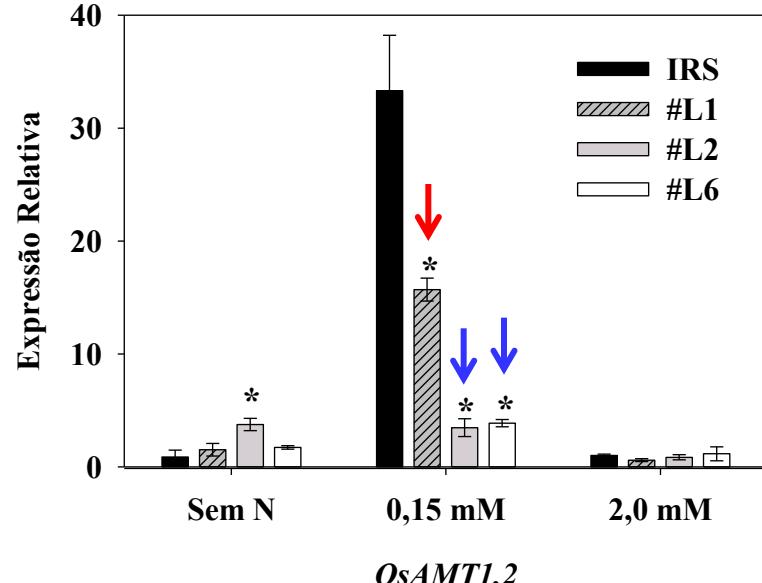
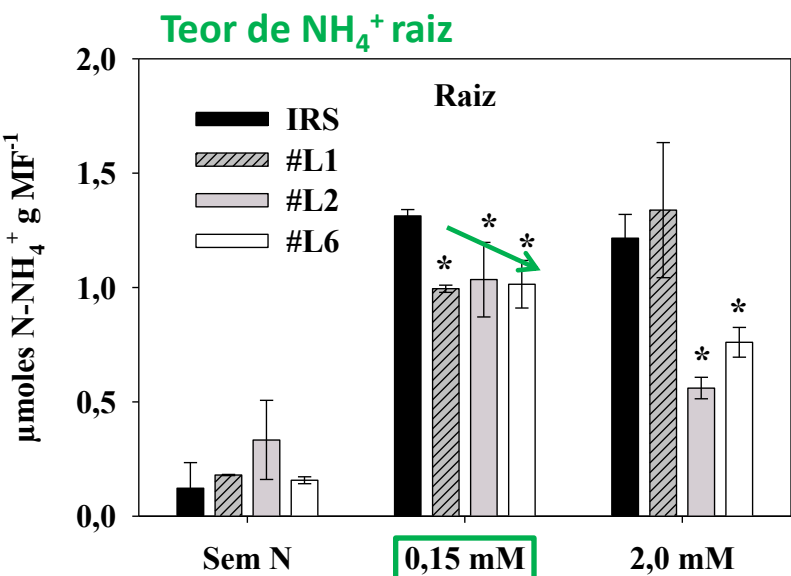
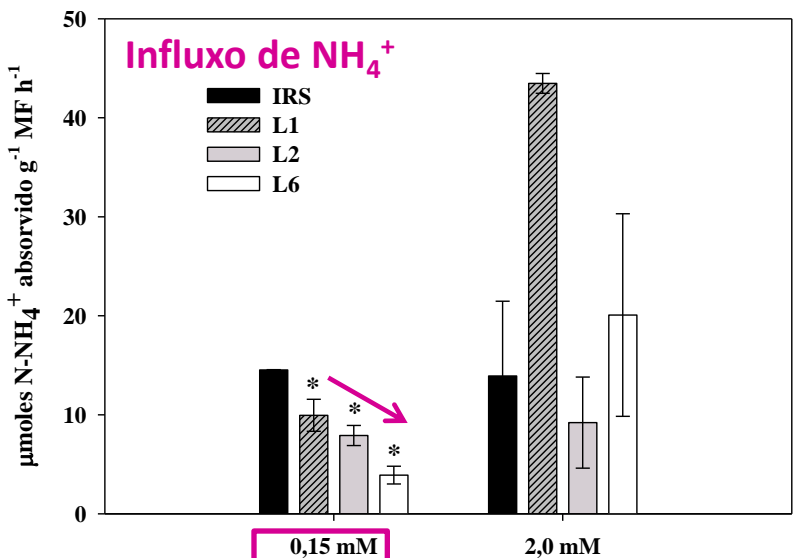
Manteiga:
proteína do grão > 12%



C_{\min} para N-NH₄⁺ em variedades de arroz. Valores obtidos 24 horas após a adição de solução com 0,2 mM de N-NH₄⁺.

Silenciamento do *OsAMT1.3* por amiRNA em arroz (*osamt1.3*)

Expressão gênica
OsAMT1.1



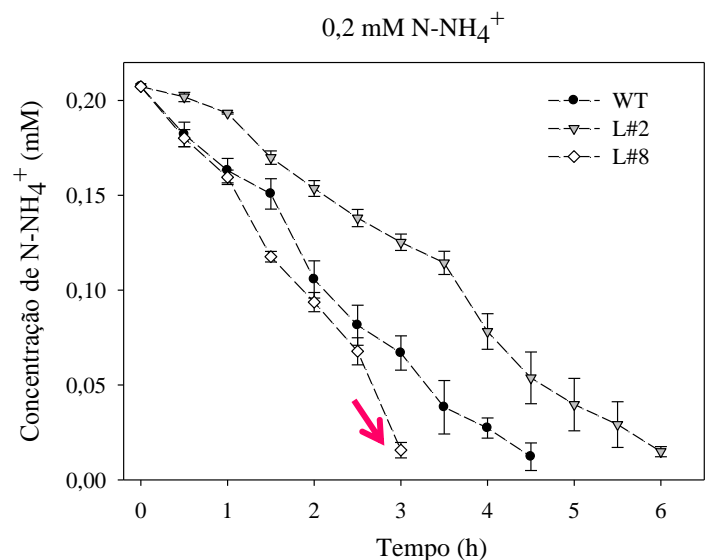
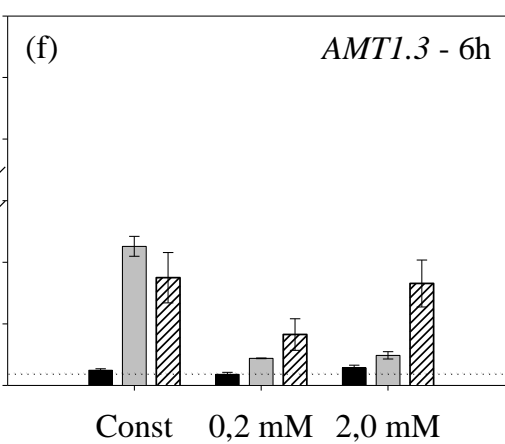
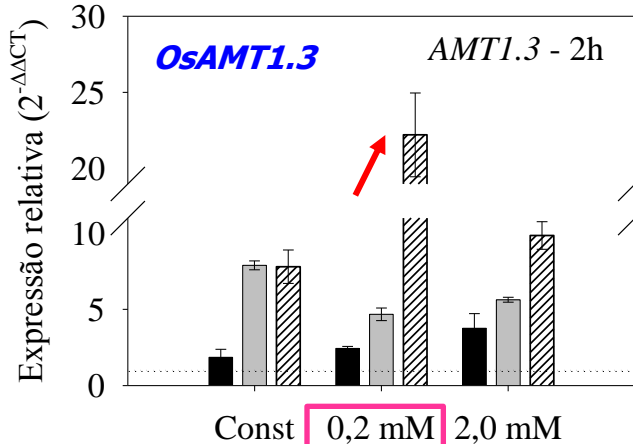
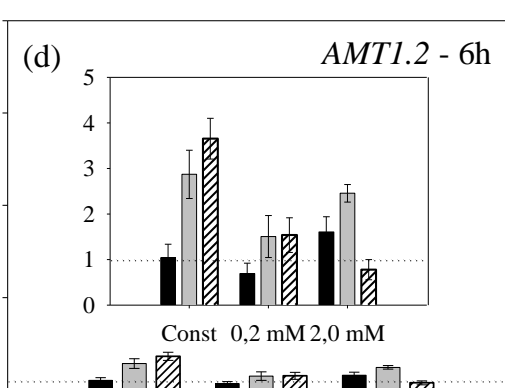
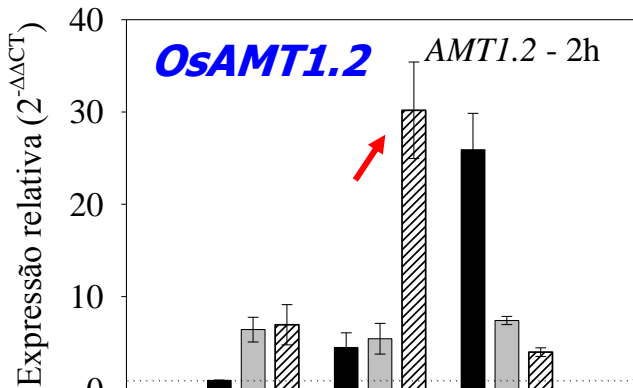
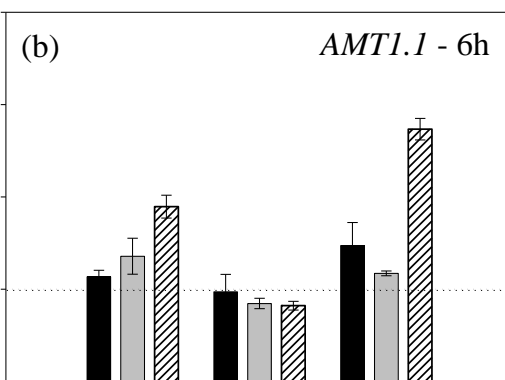
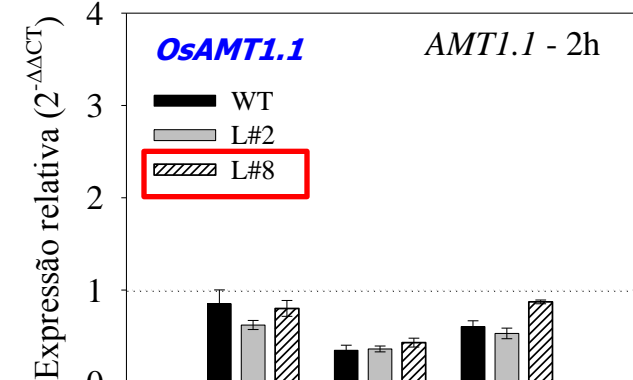
Linhagens mutantes L1, L2 e L6: amiRNA-*osamt1.3*

Influxo de NH_4^+ e teor do íon nas raízes de linhagens mutantes L1, L2 e L6 silenciando o gene *OsAMT1.3* (UBIL:amiRNA-*osamt1.3*) e plantas controle IRS154 (vetor vazio) ressupridas com 0,15 mM de N-NH₄⁺ e supridas com 2,0 mM de N-NH₄⁺.

Jacques, ML. 2014

Superexpressão do OsAMT1.3 em arroz

Expressão de AMT1

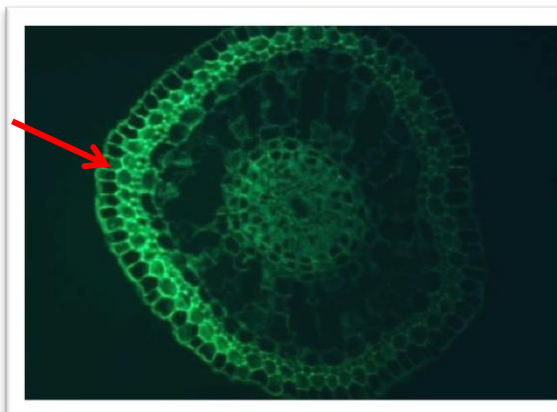
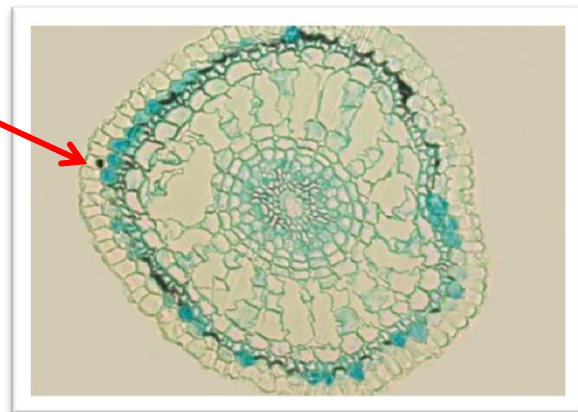


Linhagem 8 apresentou maior depleção de NH₄⁺ na solução nutritiva

E
maior expressão em baixa dose

Localização Tecido – específica do transportador de amônio *OsAMT1.3*

Corte transversal evidenciando alta atividade do *pOsAMT1.3* região do córtex

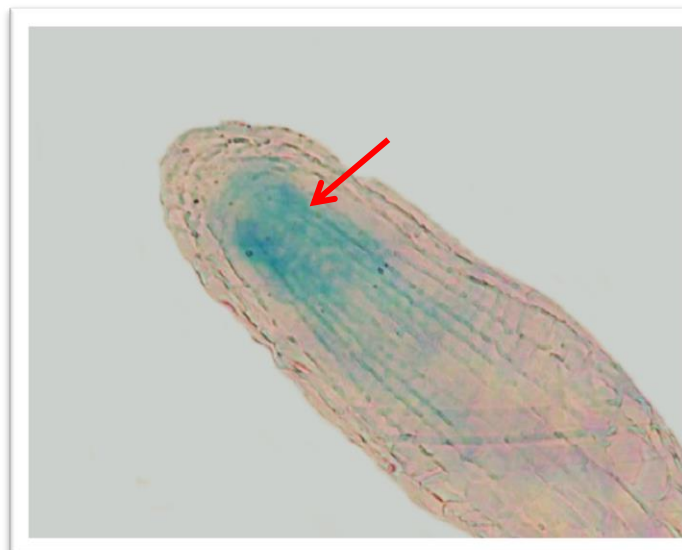
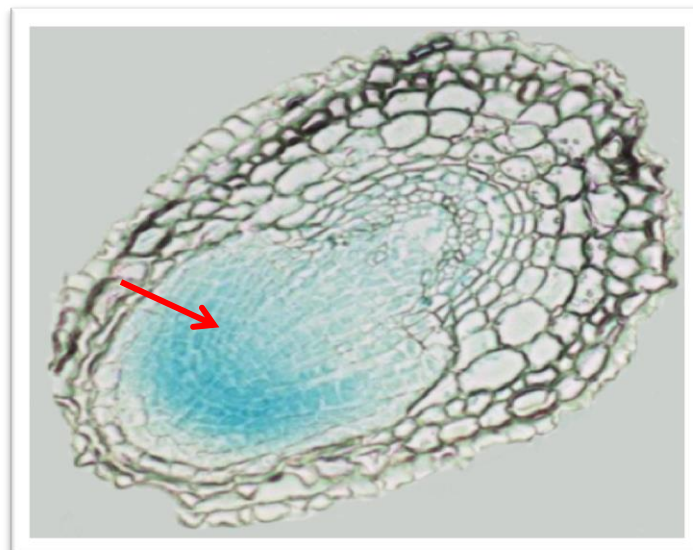


$P_{OsAMT1.3}:\text{GFP:GUS}$

GUS – Azul
GFP – Verde

Locais de atuação do *OsAMT1.3* em plantas privadas de N.

- Absorção
- Emissão raízes



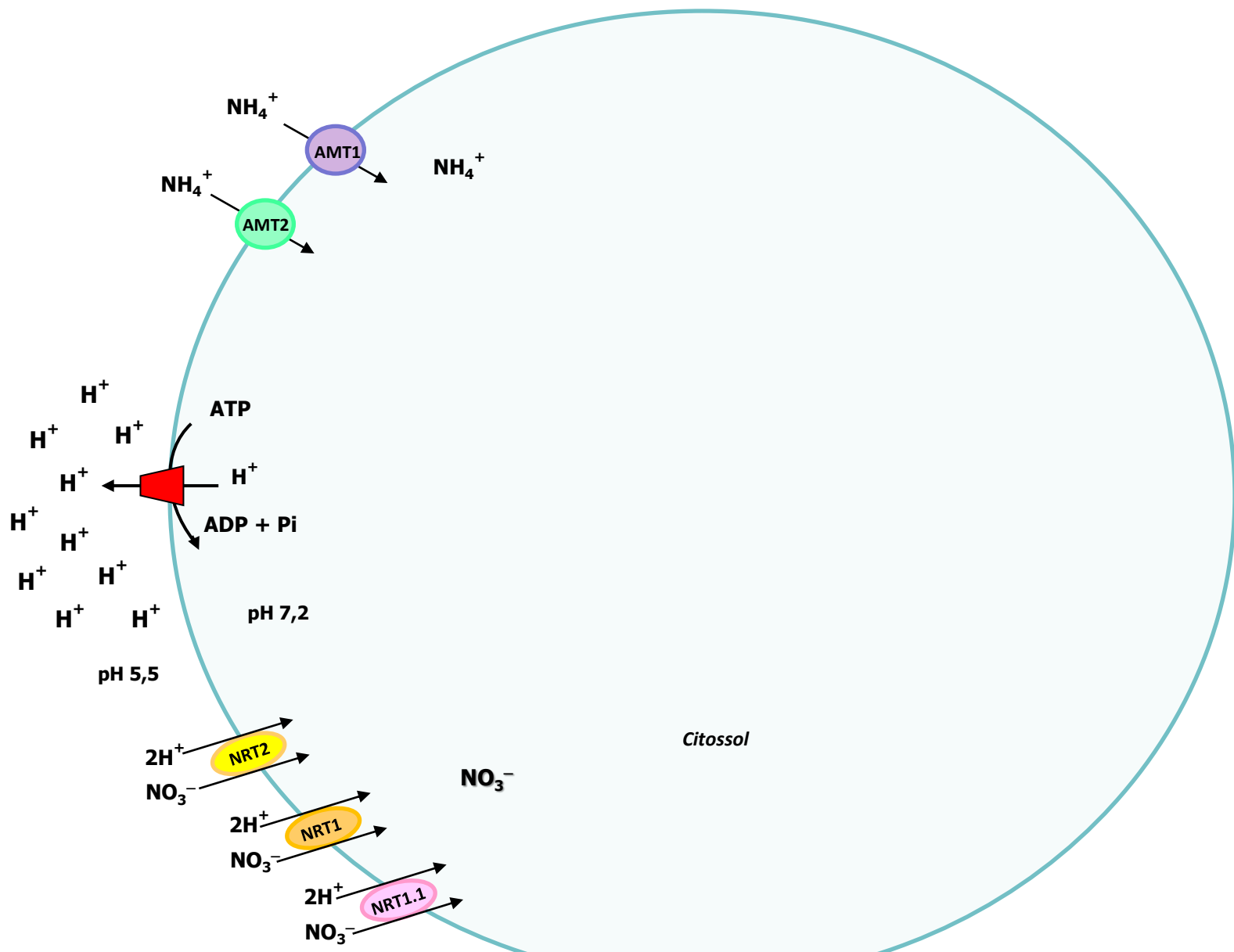
Corte transversal evidenciando a alta atividade do *pOsAMT1.3* na **região de emissão de raízes laterais** de plantas de arroz.

Corte longitudinal com detalhe para a **ponta da raiz lateral** com alta atividade do *pOsAMT1.3*.

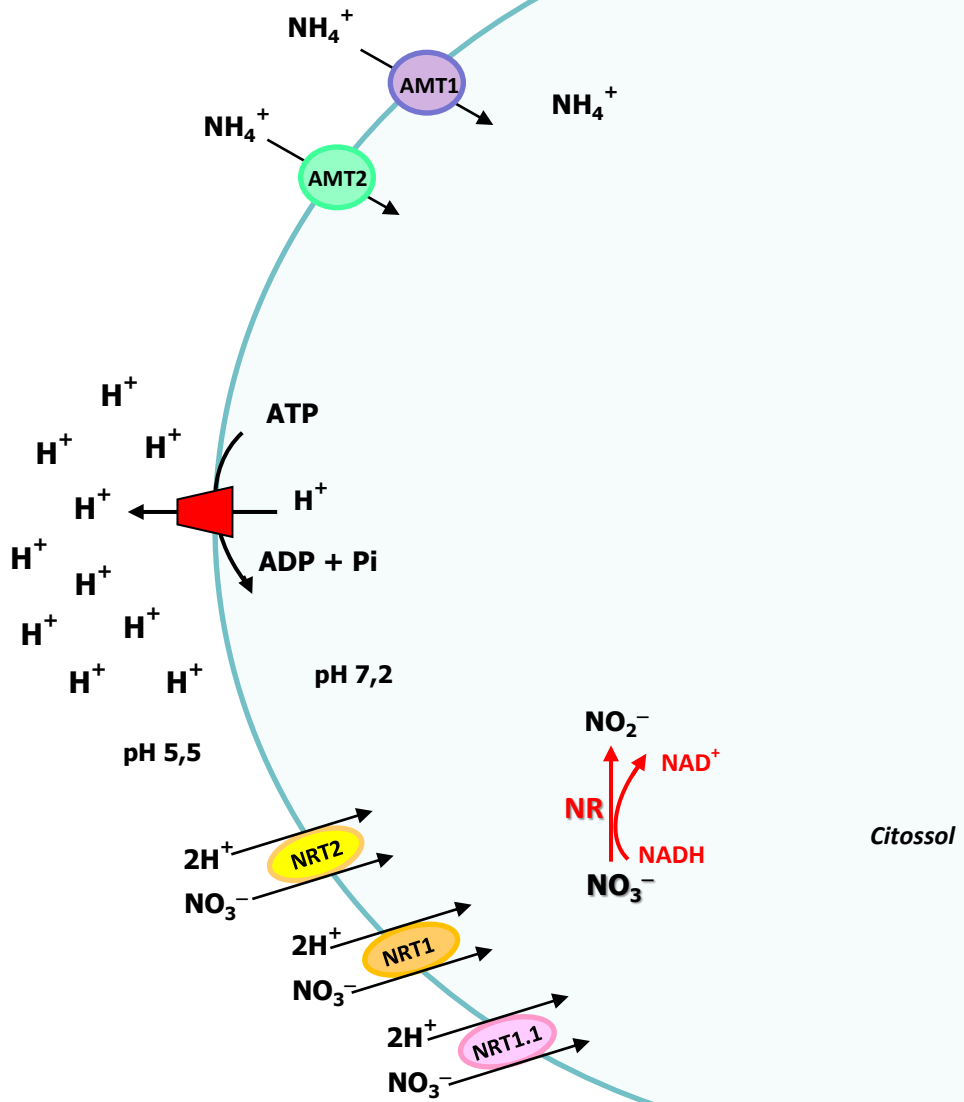
(Ferreira, L. 2012)

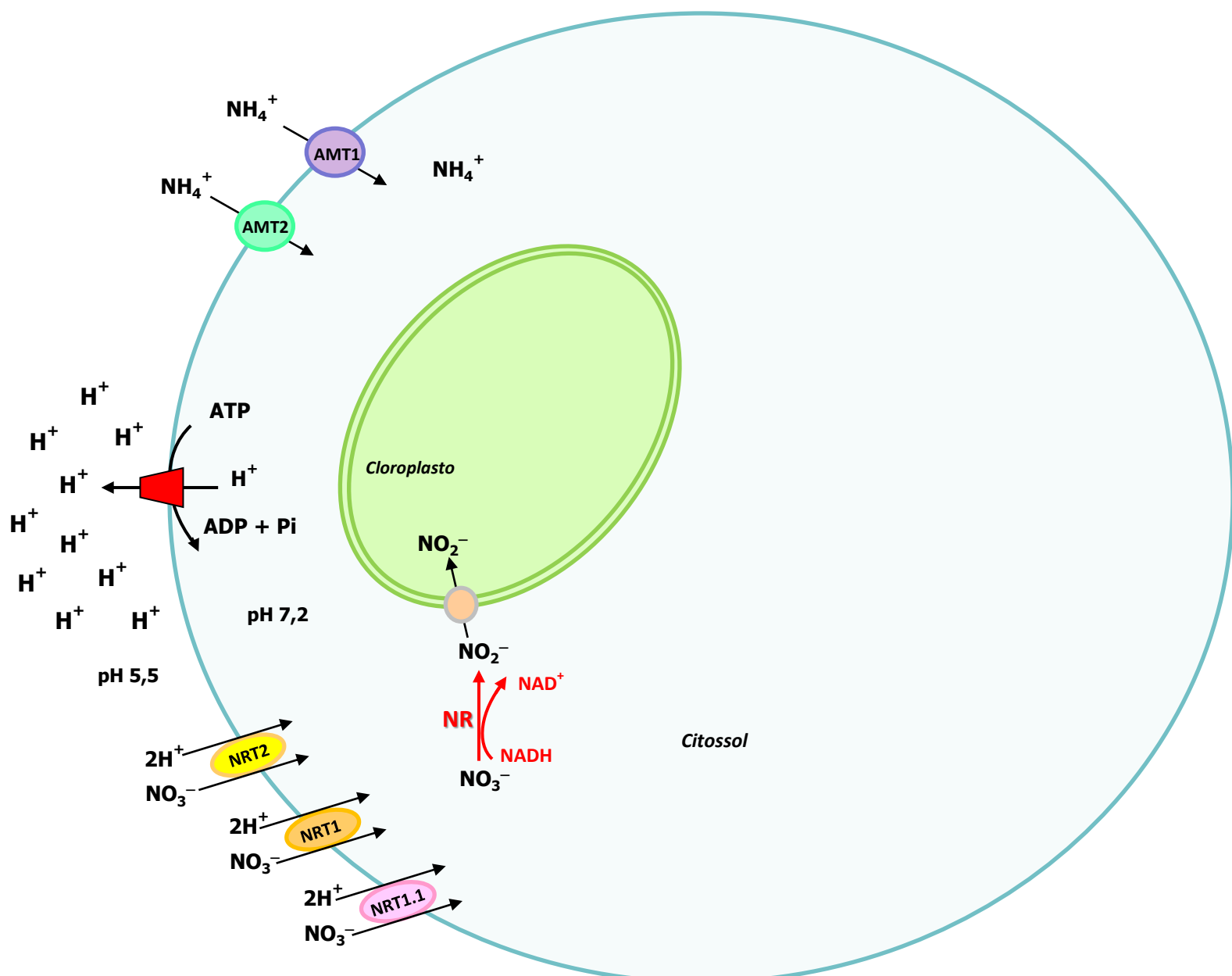
Redução do Nitrato

“Assimilação do NO_3^- ”

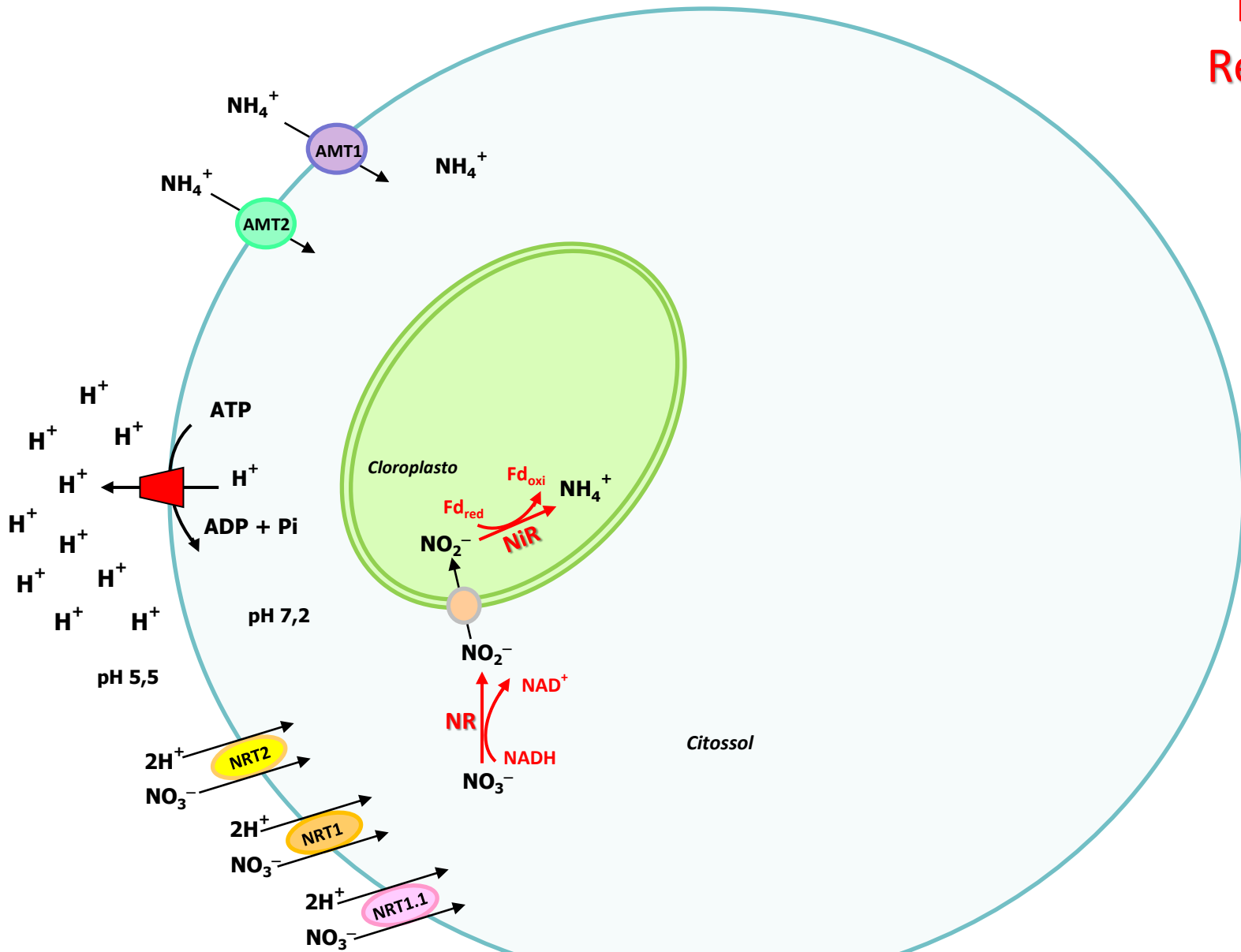


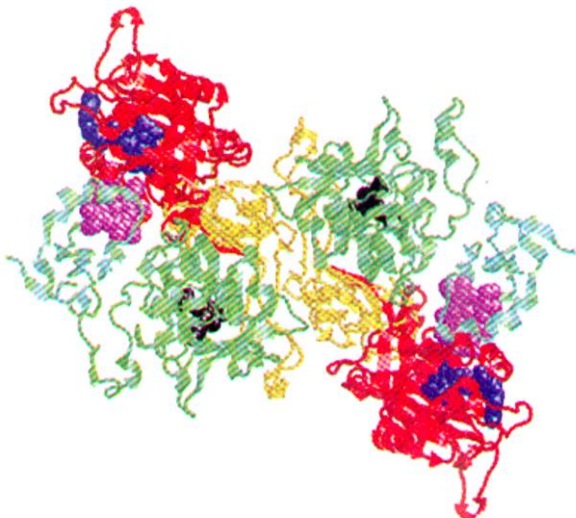
Nitrato Redutase (NR)



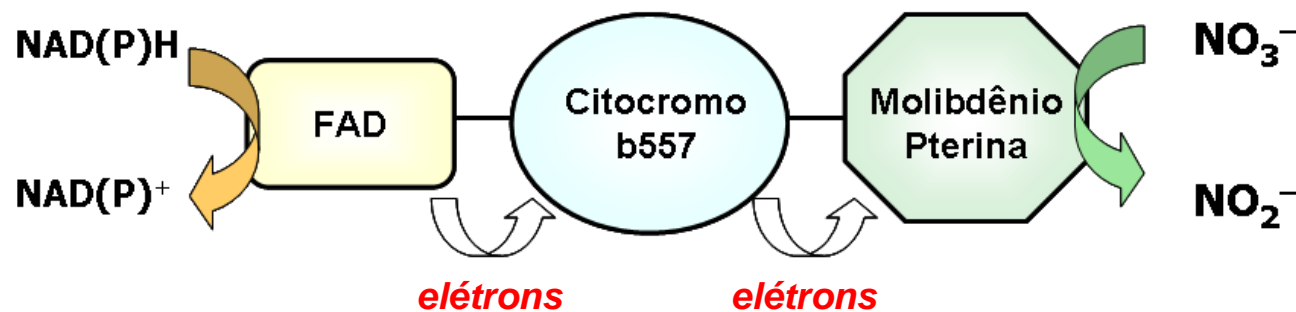


Nitrito Redutase (NiR)



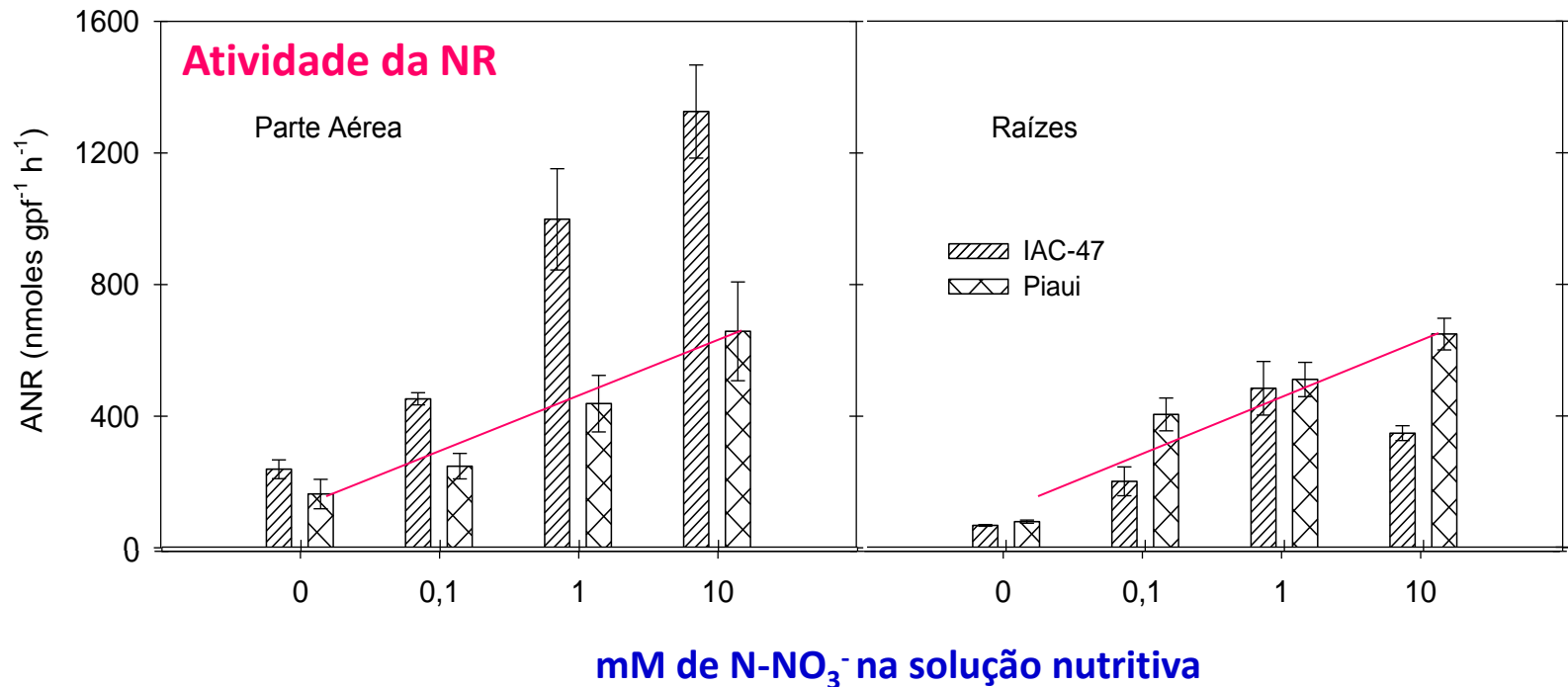


Nitrato Redutase

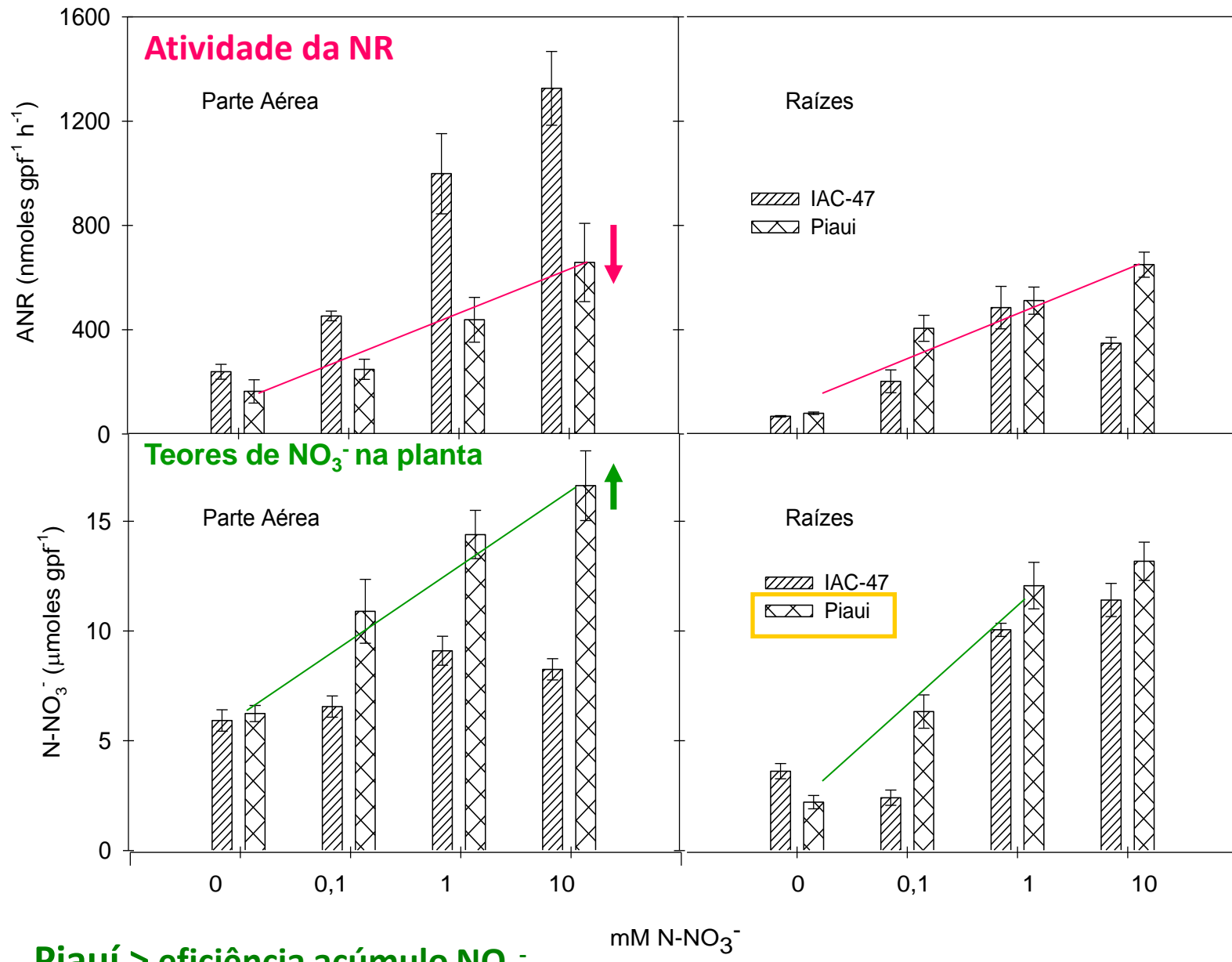


Transferência de elétrons na Nitrato Redutase.

Os elétrons doados pelo NAD(P)H são transferidos pelo FAD, citocromo b557 e cofator molibdênio-pterina até chegarem ao NO_3^- que então é reduzido a NO_2^- .



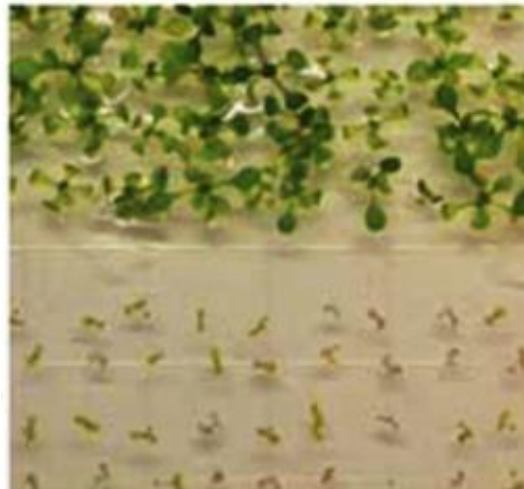
Variedades de arroz, IAC-47 (melhorada) e Piauí (tradicional) submetidas a 4 concentrações de N-NO₃⁻ em solução nutritiva (0; 0,1; 1 e 10 mM). (31 dias+48 hs sem N a seguir receberam os tratamentos com N) (Santos, A.M. et al., 2007).



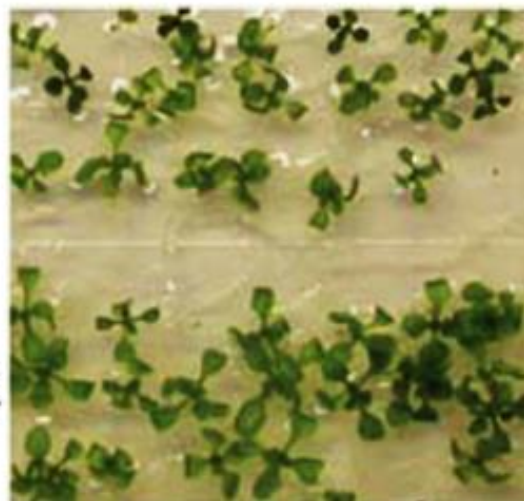
Variedades de arroz, IAC-47 (melhorada) e Piauí (tradicional) submetidas a 4 concentrações de N-NO_3^- em solução nutritiva (0; 0,1; 1 e 10 mM). (31 dias+48 hs sem N a seguir receberam os tratamentos com N) (Santos, A.M. et al., 2007).

Silenciamento da Nitrato Redutase em Arabidopsis

KNO_3



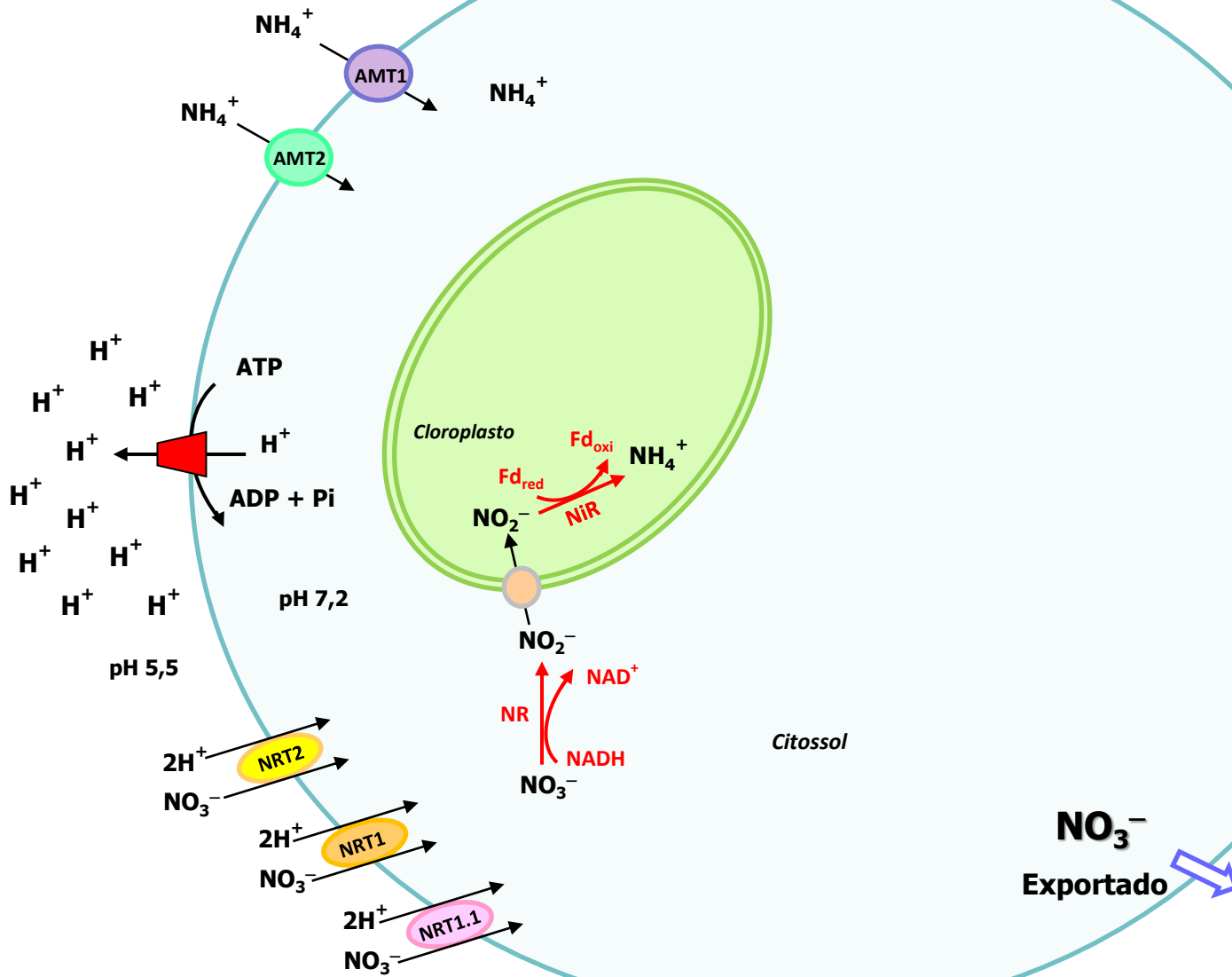
$\text{NH}_4\text{-Suc}$



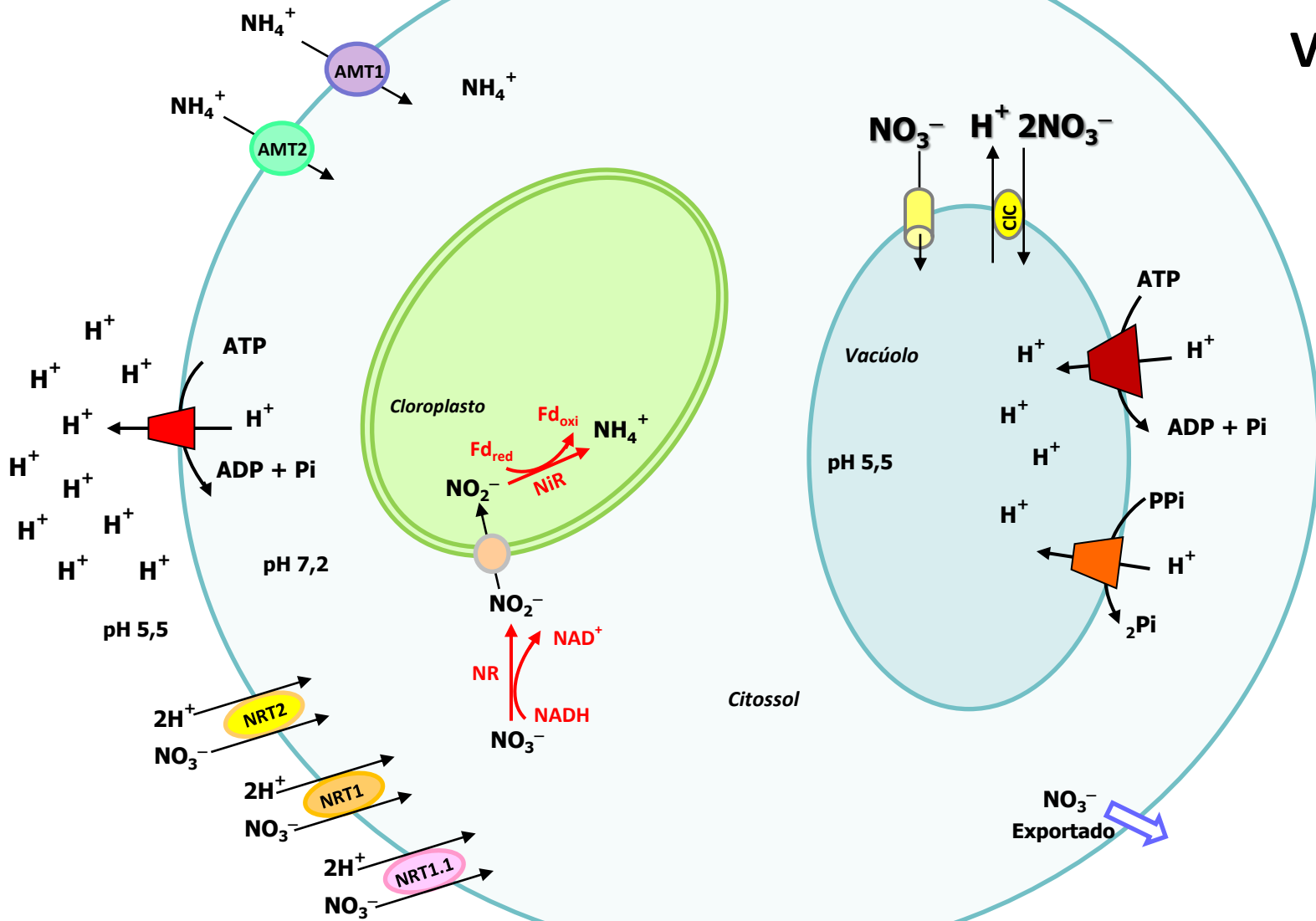
Wang et al. (2004)

Outros destinos do NO_3^-

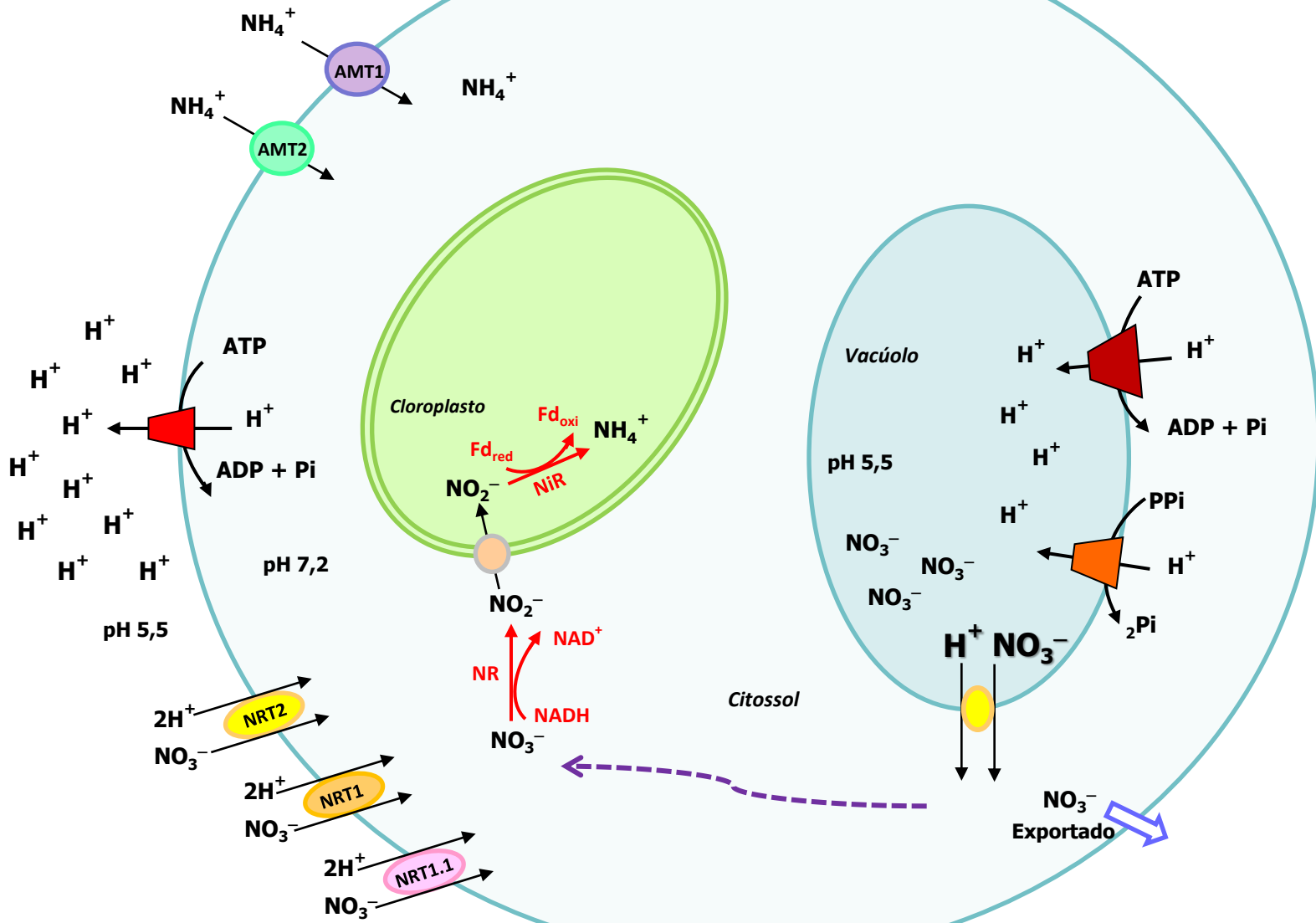
Exportado



Armazenado no Vacúolo

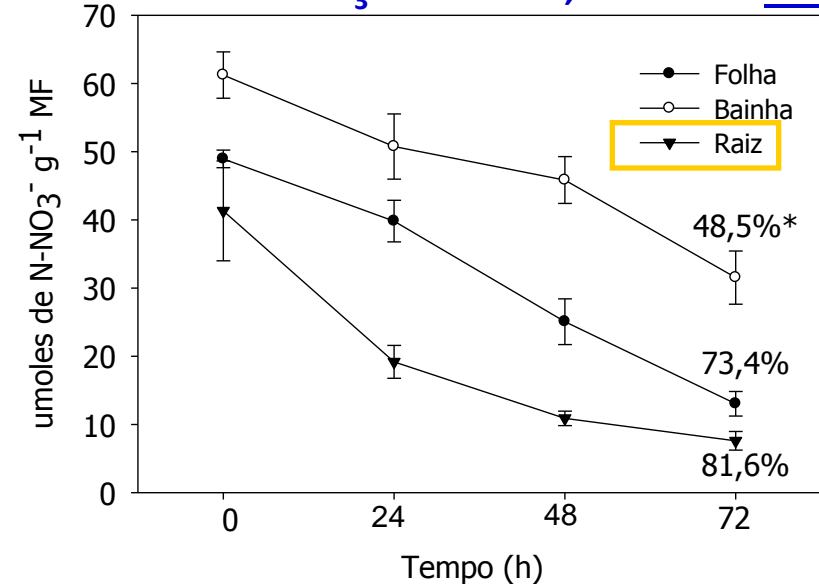


Remobilizado

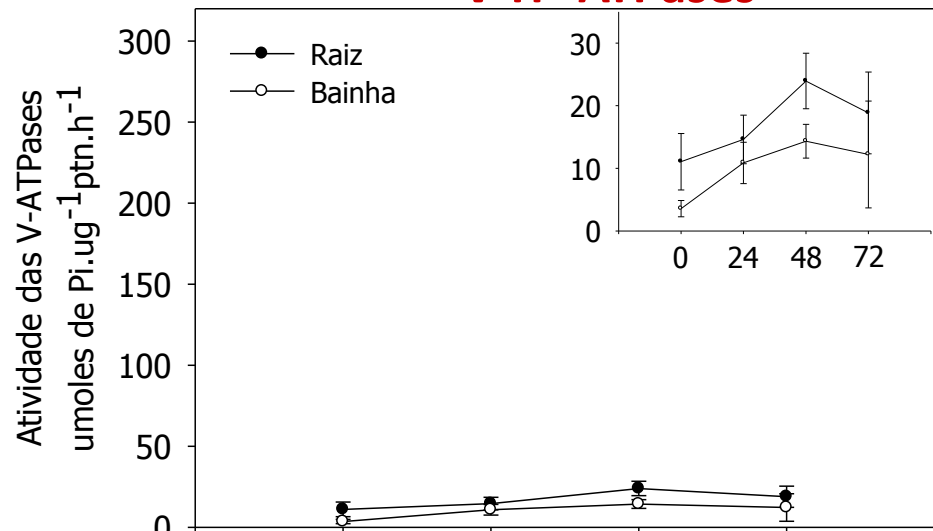


Após retirada do NO_3^- da solução nutritiva (arroz):

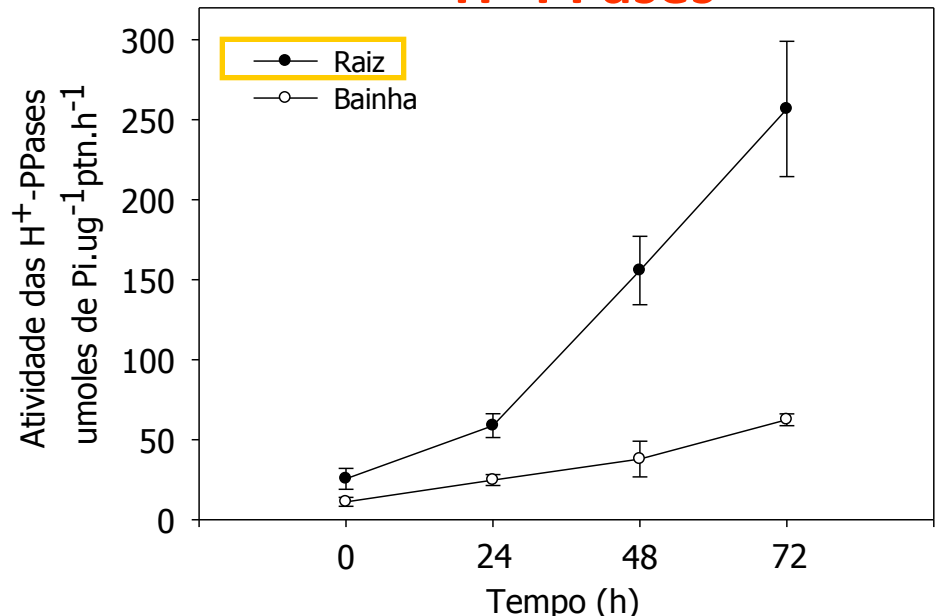
Os teores de NO_3^- nas folhas, bainhas e raízes:



V-H⁺-ATPases

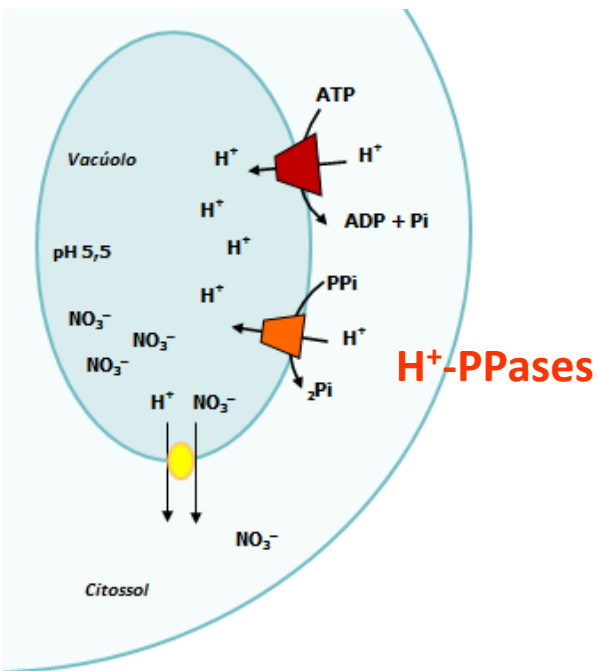


H⁺-PPases



Tempo após retirada do NO_3^- da solução nutritiva

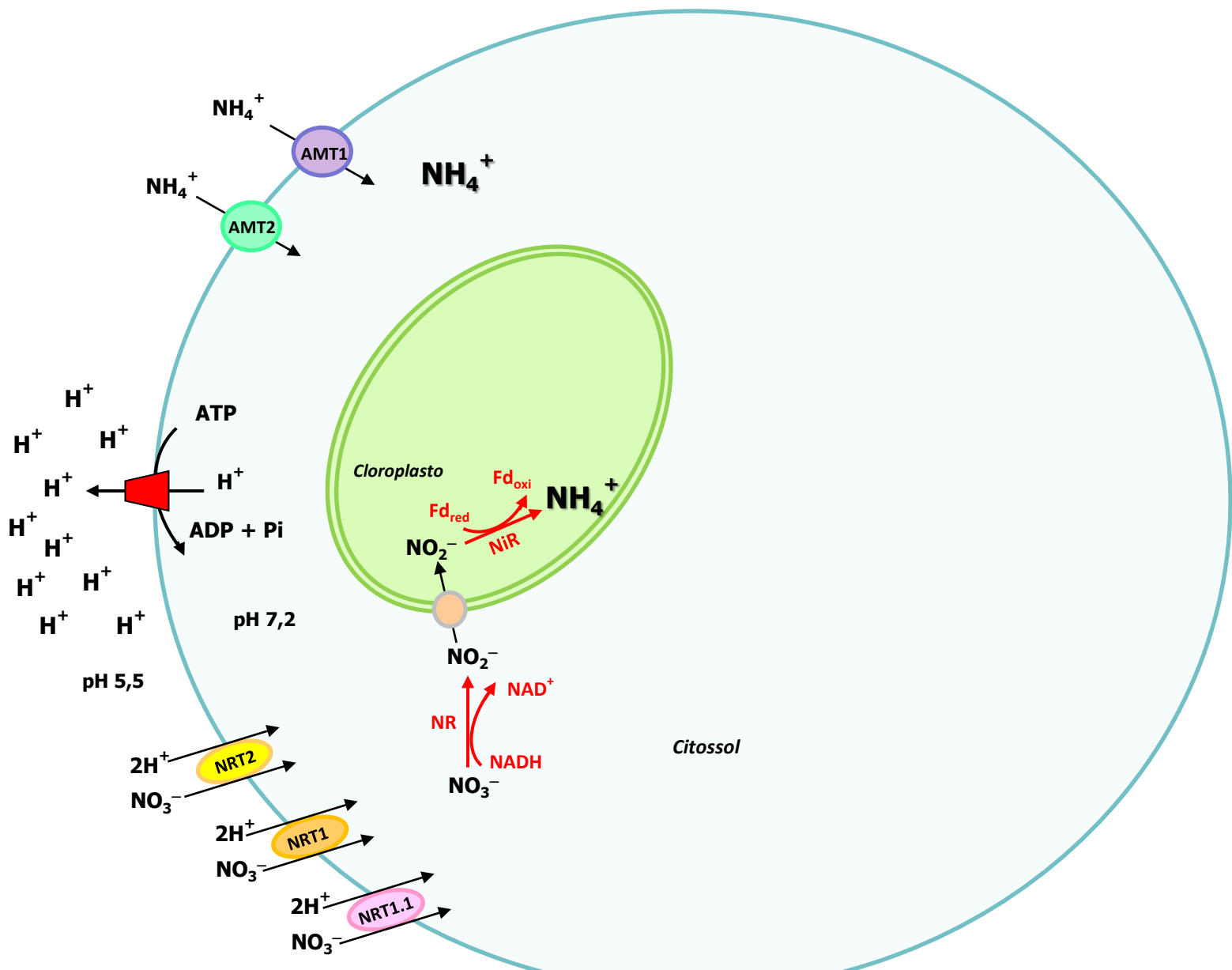
Santos et al., 2011



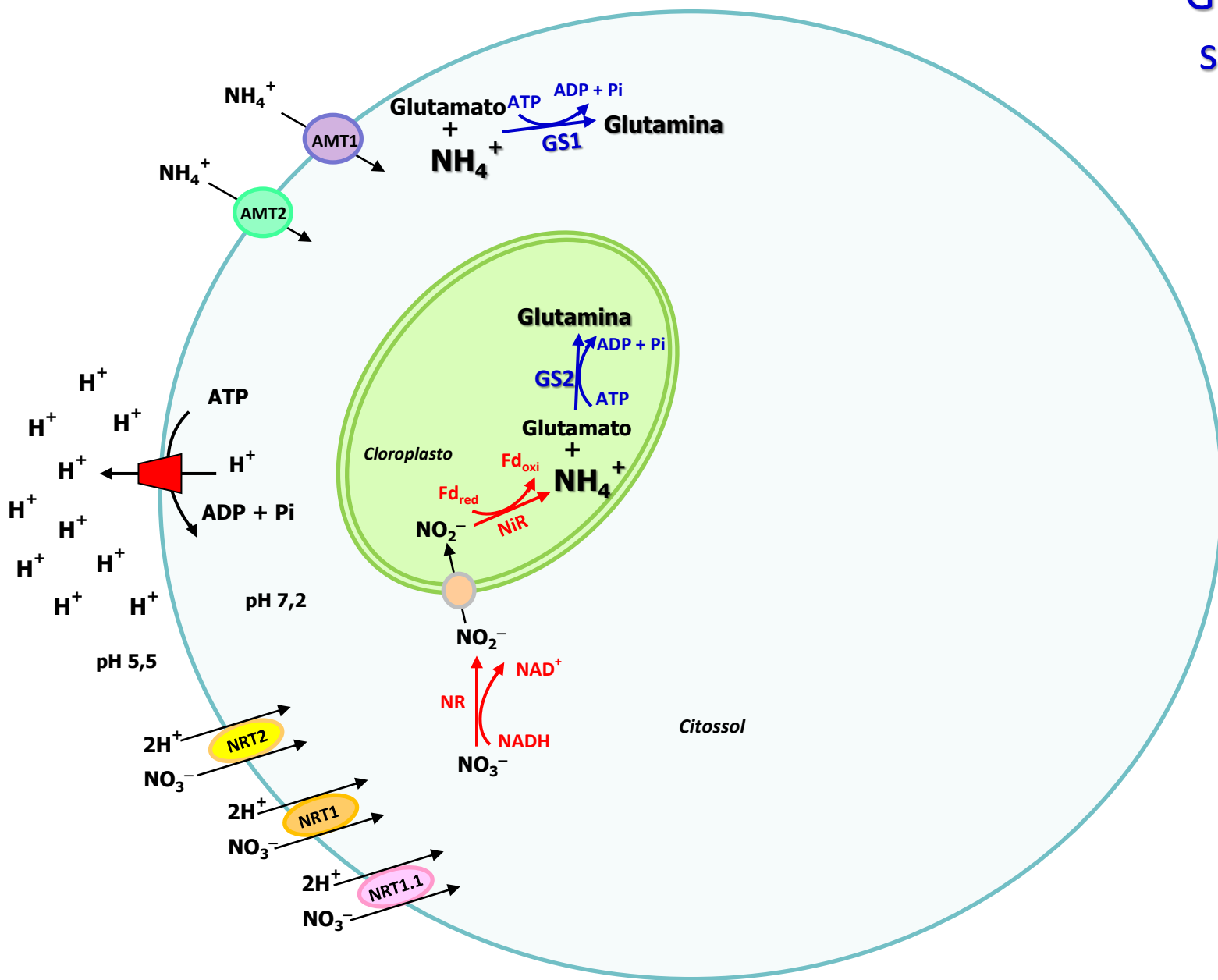
H⁺-PPases

Assimilação do NH₄⁺

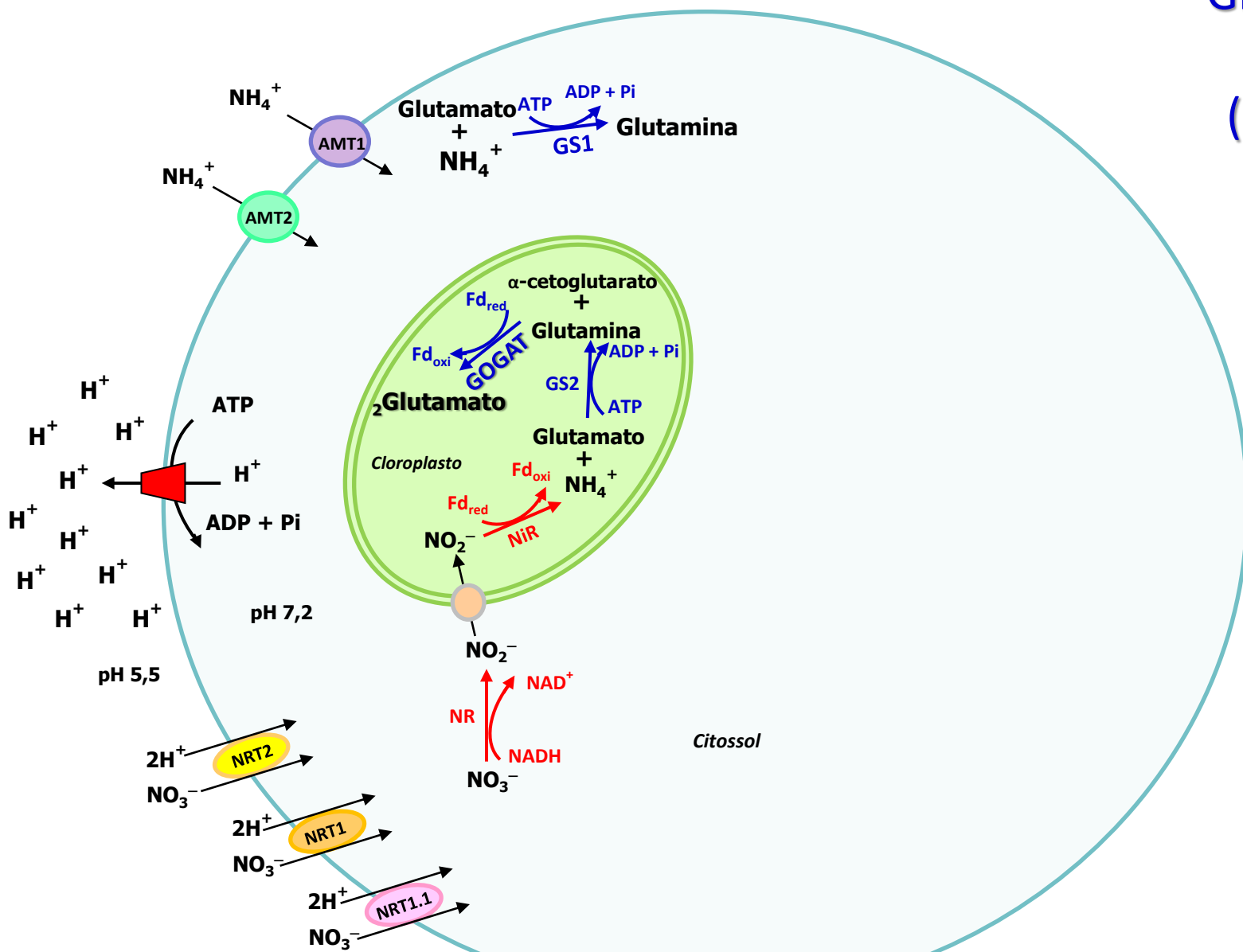
**GS, GOGAT
GDH**



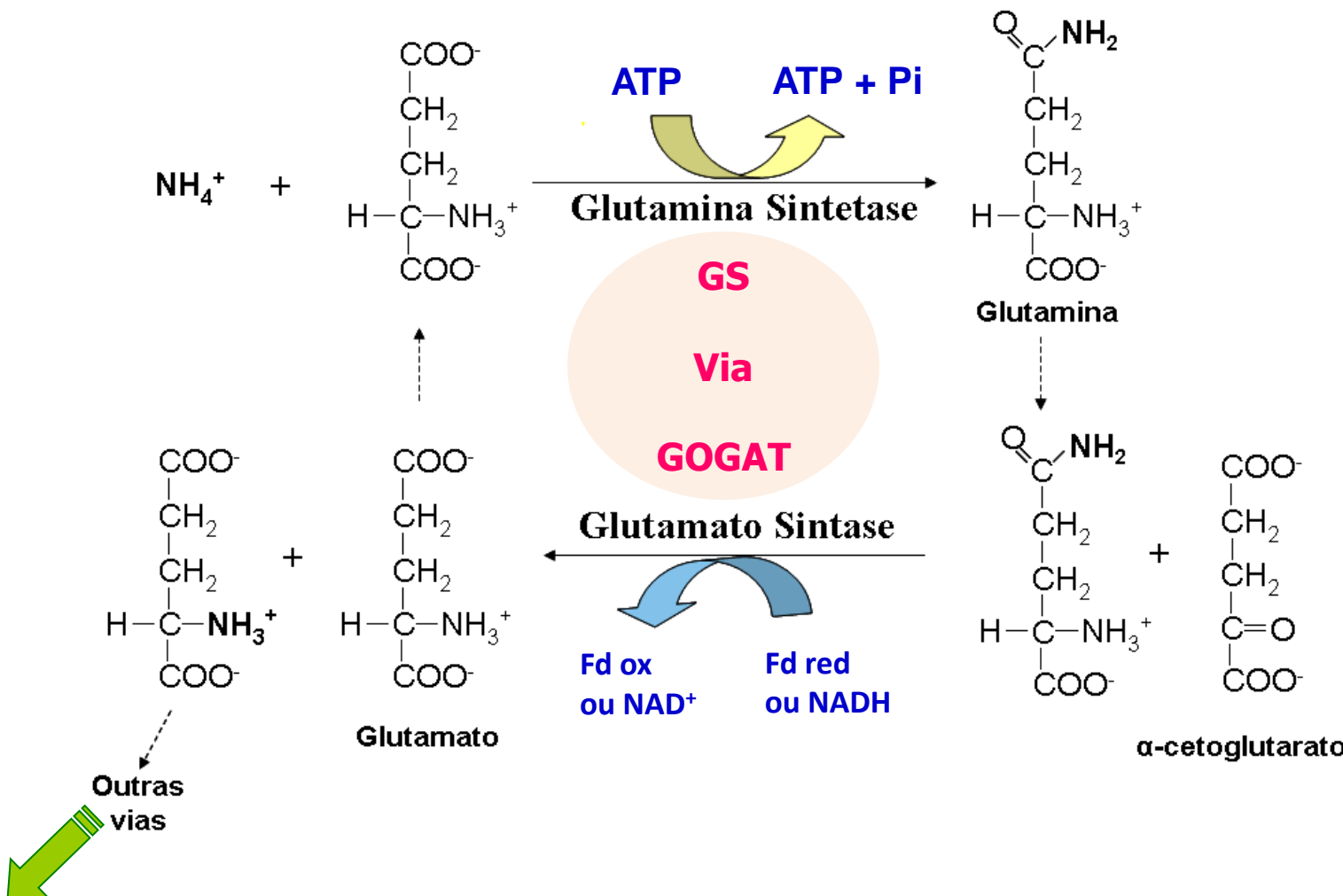
Glutamina
sintetase
GS1
GS2



Glutamato sintase (GOGAT)

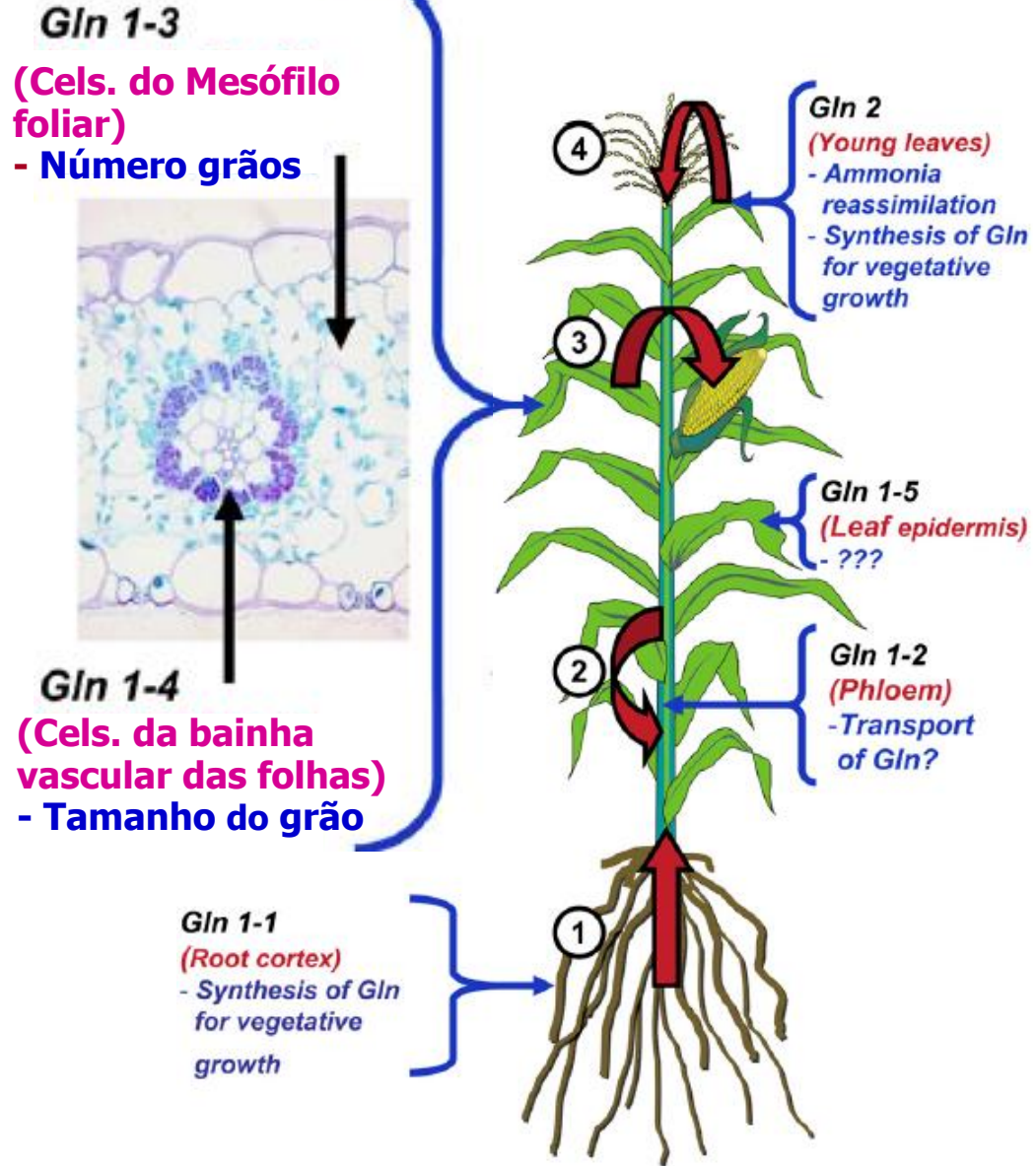


Via Glutamina Sintetase-Glutamato sintase (GS-GOGAT)



Esquema representativo da Via Glutamina Sintetase-Glutamato sintase (GS-GOGAT) para a assimilação de amônio. (Fdox = ferredoxina oxidada e Fdred = Ferredoxina reduzida).

Knockout das isoformas de GS1: *gln1-3* e *gln1-4*



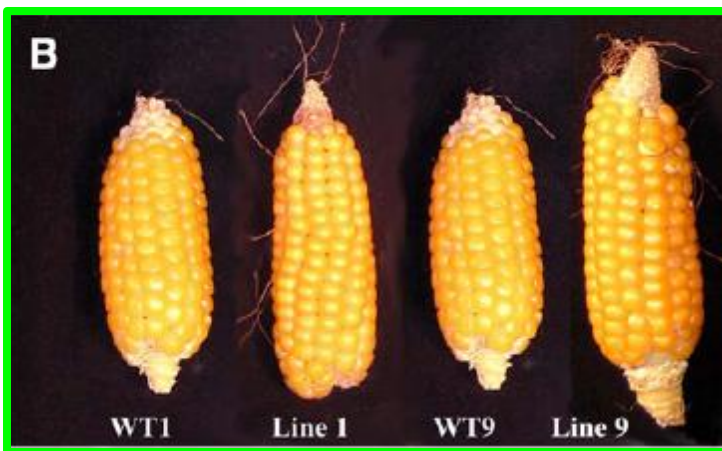
Phenotype of the Shoot in GS1-Deficient Mutants.

(Martin et al., 2006)

**Knockout da GS1
(*gln1-3* e *gln1-4*)**



***Gln1.3* - Número de grãos**



Superexpressão da GS1 (*Gln1-3*)
➤ Aumento do número de grãos em 30%



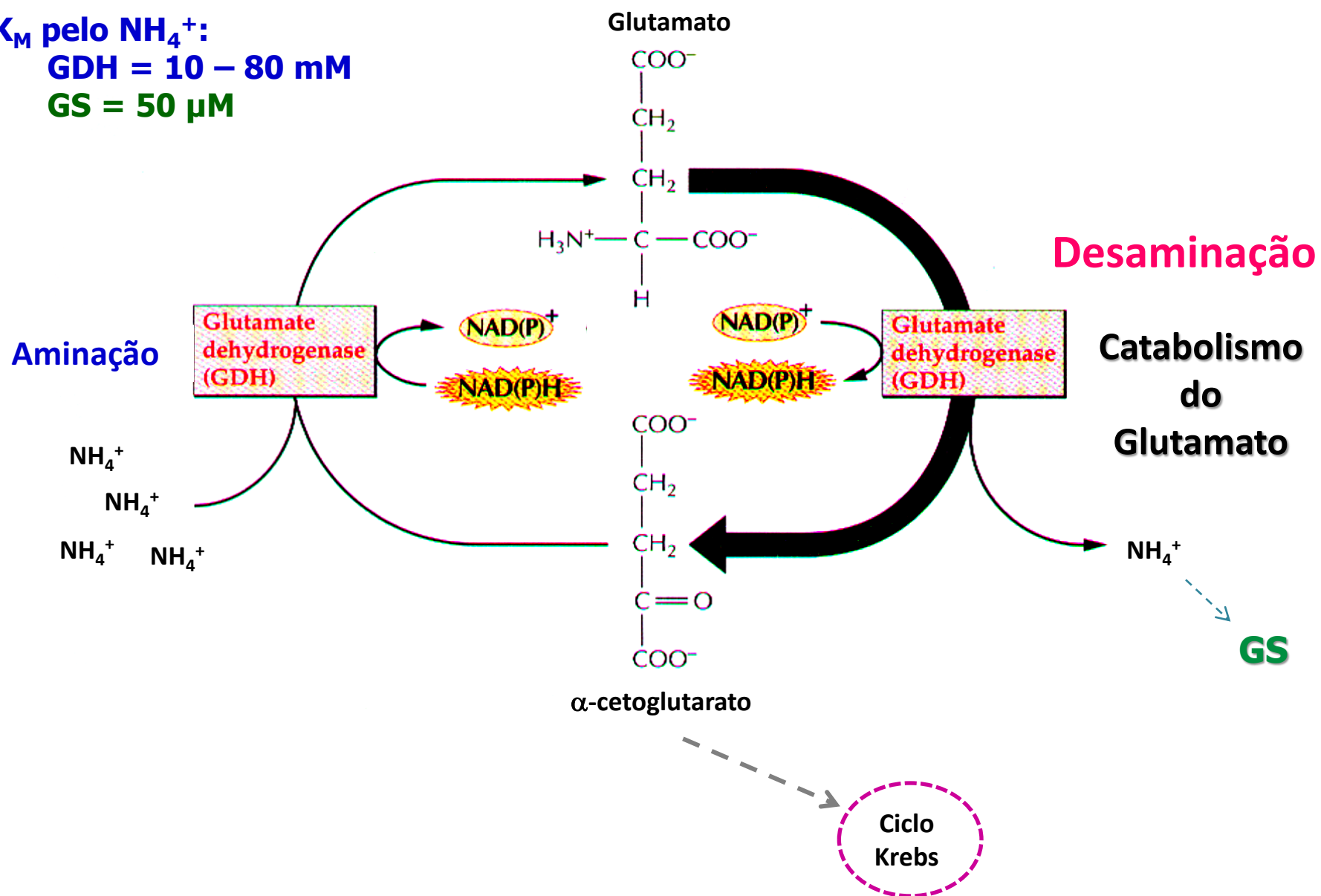
(Martin et al., 2006)

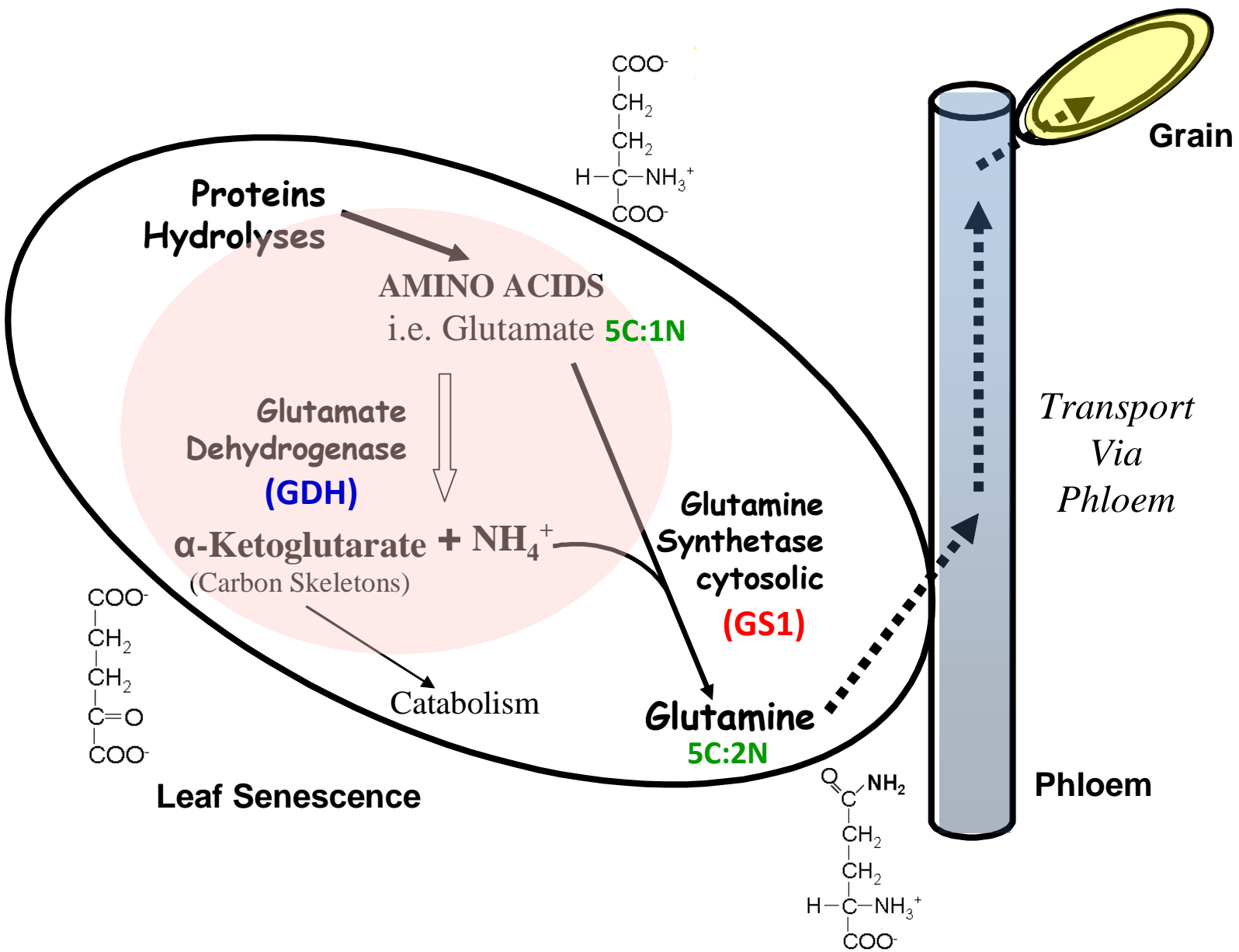
Glutamato desidrogenase de plantas (GDH)

K_M pelo NH_4^+ :

$\text{GDH} = 10 - 80 \text{ mM}$

$\text{GS} = 50 \mu\text{M}$





Metabolismo de senescencia

GDH desaminação

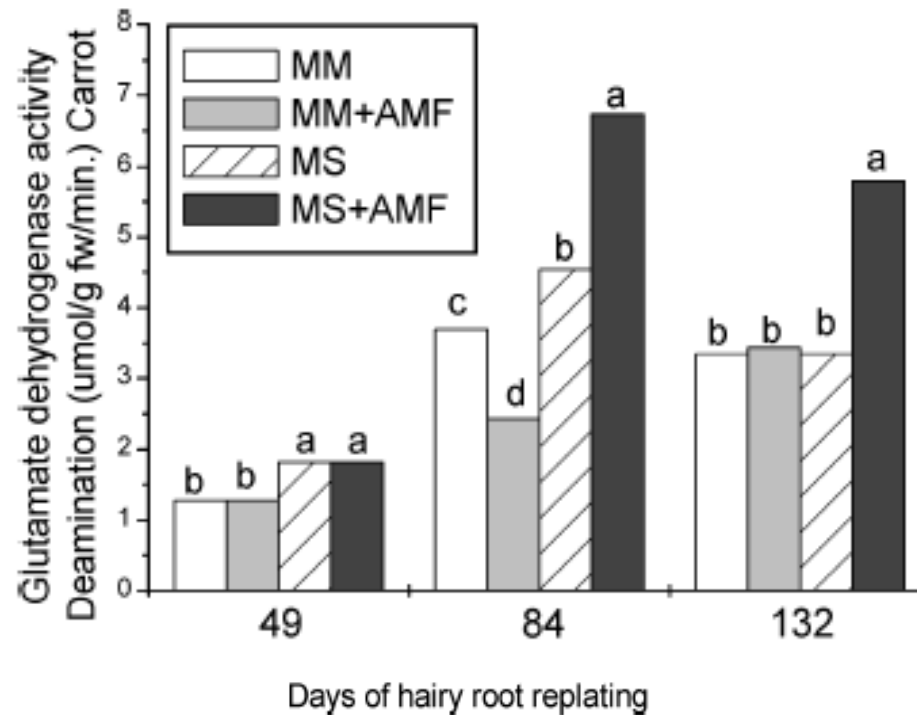
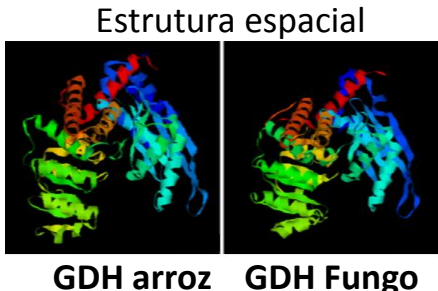


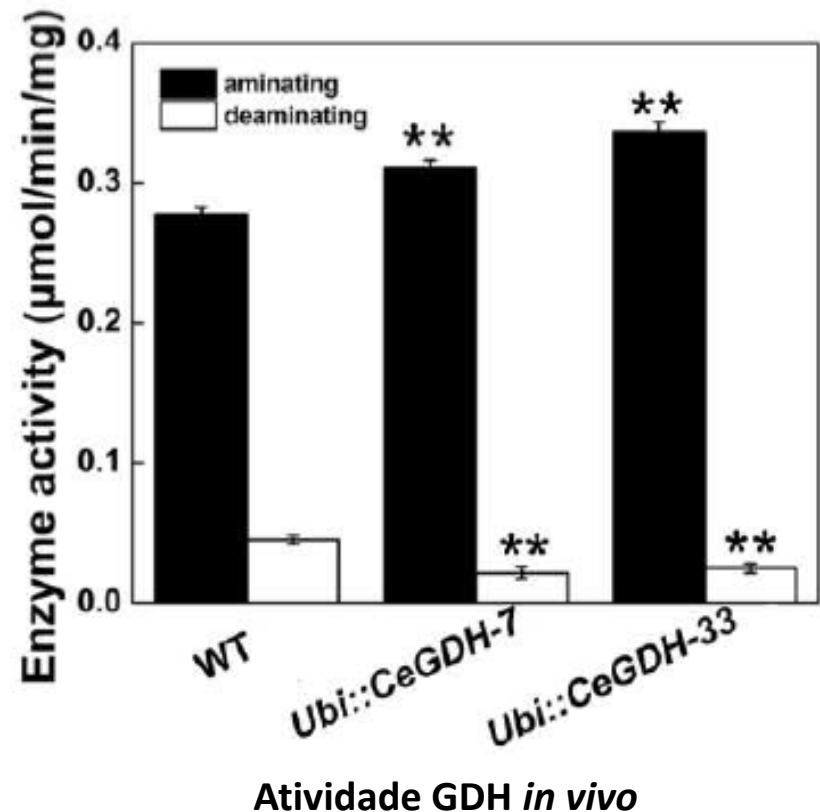
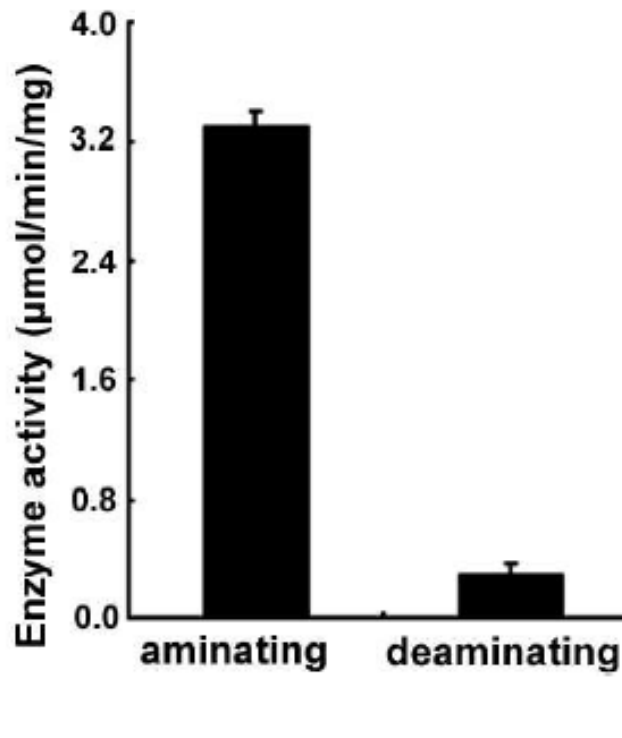
Figure 1. Glutamate synthase activity ($\mu\text{mol/g}$ fresh weight/min) in carrot and clover hairy roots, grown on minimum medium (MM) or Murashige and Skoog (MS) medium, in the presence or absence of the arbuscular mycorrhizal fungi (AMF). Harvests at 49/21, 84/56 and 132/111 days of root replating/fungal inoculation. For the same harvest, values followed by the same letters did not differ significantly from one another (Tukey test, $p < 0.05$).

(Souza et al, 2007).

Superexpressão de GDH de fungo (*Cylindrocarpon ehrenbergii*) CeGDH em arroz



> Atividade GDH aminação



Arroz superexpressando GDH de fungo (*Cylindrocarpon ehrenbergii*) CeGDH

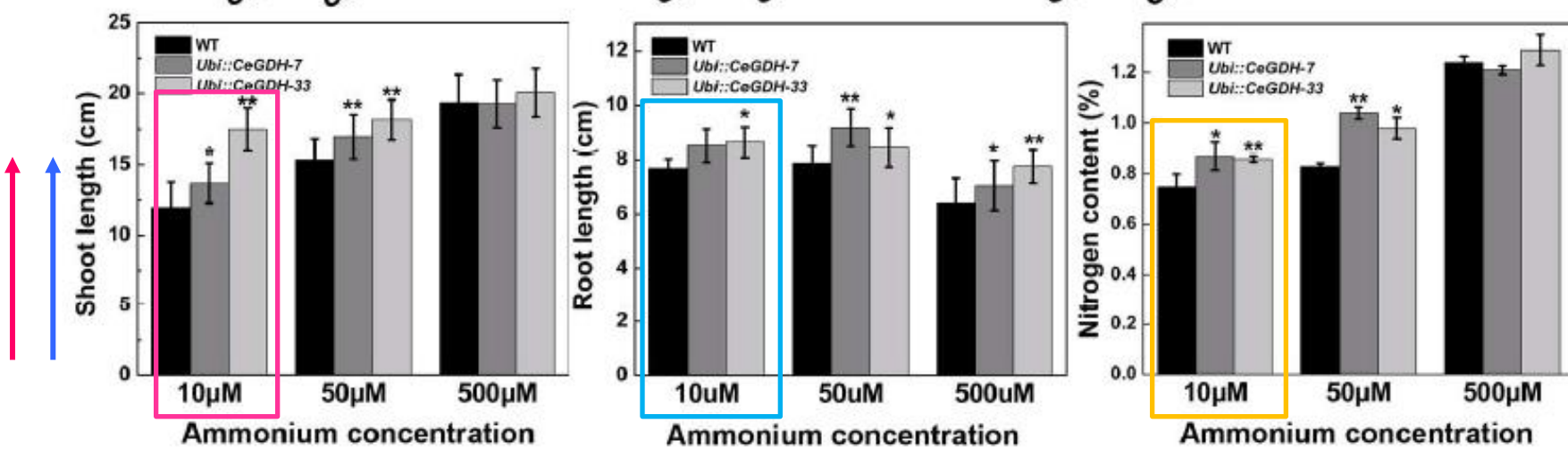
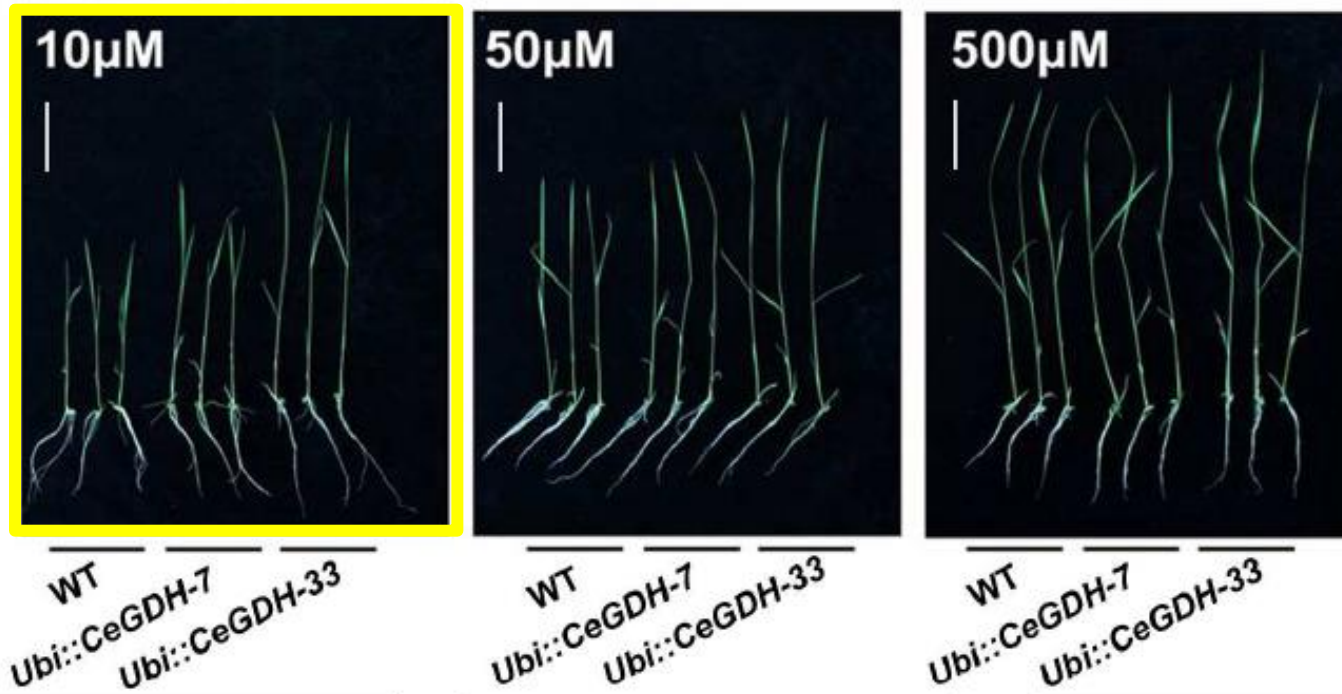
Plântulas

CeGDH

Sob

Baixo N

Maior
crescimento



Arroz superexpressando GDH de fungo (*Cylindrocarpon ehrenbergii*) CeGDH

Aumento da produção de grãos e nº. panículas sob baixo N

Table 1 Phenotypic and agronomic traits statistics of mature transgenic lines in nitrogen gradient field

cultivation experiment

Nitrogen fertilizer gradient in field (kg N/ha)	Line	1,000-grain weight (g)	Panicle number/hill	Filled grains rate (%)	Grain yield per plant (g/hill)
37.5	WT	24.5 ± 0.9	15.3 ± 3.2	87.1 ± 1.9	14.6 ± 3.9
	<i>Ubi::CeGDH-7</i>	26.4 ± 1.2**	27.1 ± 5.3**	86.8 ± 4.0	24.5 ± 6.3**
	<i>Ubi::CeGDH-33</i>	24.6 ± 0.7	26.5 ± 10.8**	84.3 ± 6.4	19.9 ± 5.4*
112.5	WT	23.4 ± 0.8	31.0 ± 11.3	88.0 ± 1.7	28.8 ± 10.4
	<i>Ubi::CeGDH-7</i>	25.9 ± 2.0**	26.3 ± 6.2	86.8 ± 4.1	21.9 ± 5.5*
	<i>Ubi::CeGDH-33</i>	23.0 ± 0.9	20.9 ± 2.6**	85.3 ± 6.2	27.5 ± 2.6

Data represent the average values SEM ($n=20$). $P \leq 0.05$ (*) and $P \leq 0.01$ (**), student's *t* test.

Cultivo em condições de campo
>eficiência uso N

Zhou et al., 2014

**Superexpressão de
fator de transcrição**

Superexpressão do Dof25 de arroz em Arabidopsis (35S:*OsDof25*)

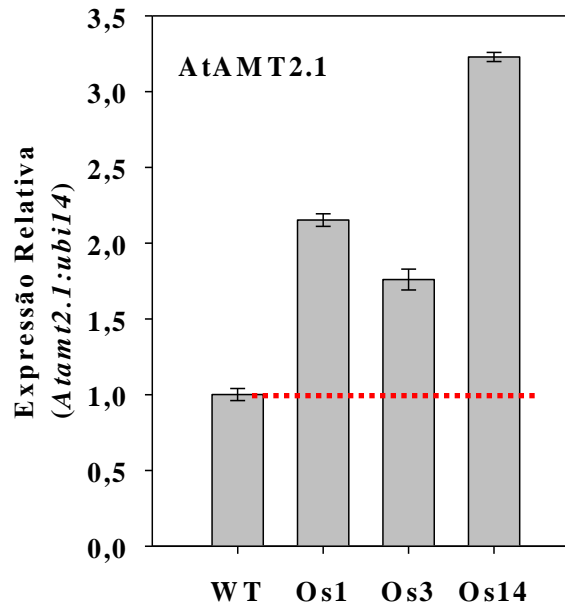
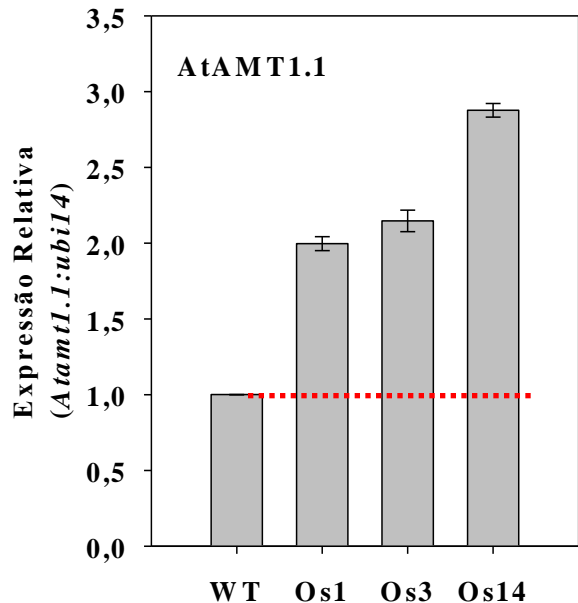


WT – planta
não
transformadas

Maior
crescimento

Arabidopsis Superexpressando Dof25 de arroz

Expressão de AMT1 e AMT2

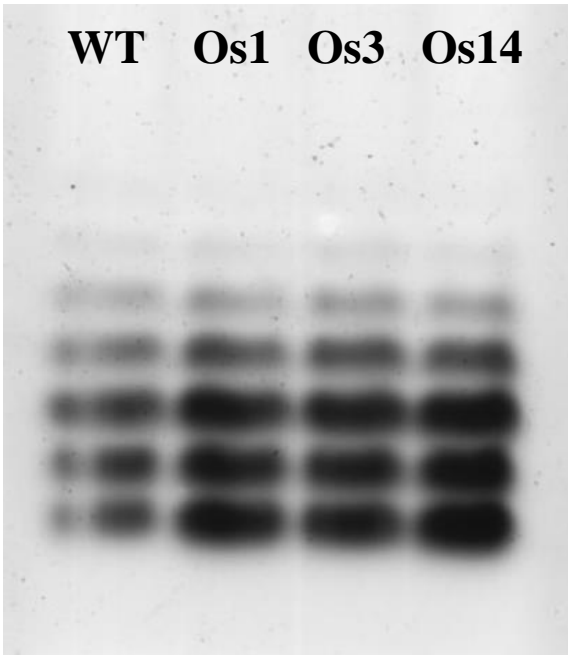


Expressão gênica de transportadores de NH_4^+ de alta (AtAMT1.1) e baixa afinidade (AtAMT2.1) em linhagens de *Arabidopsis* superexpressando *Osdof25* e WT.

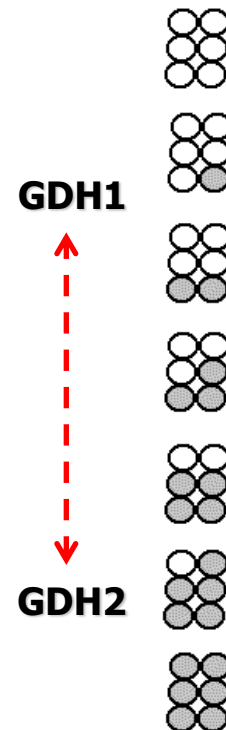
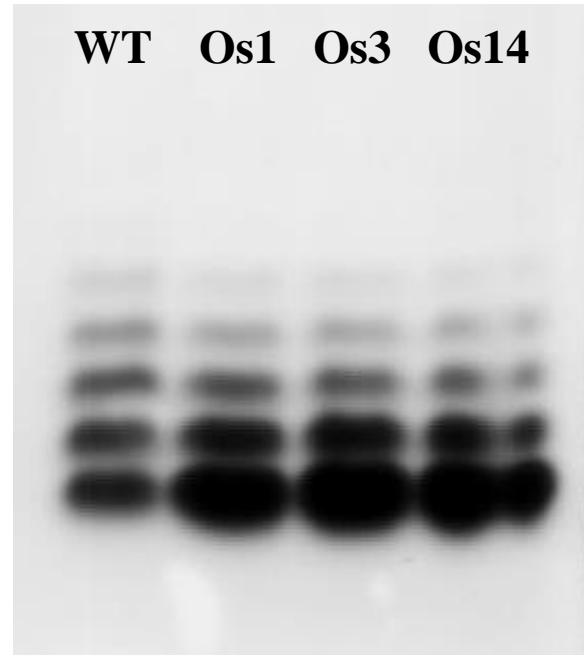
Arabidopsis Superexpressando Dof25 de arroz

>Atividade GDH

----- Parte aérea -----

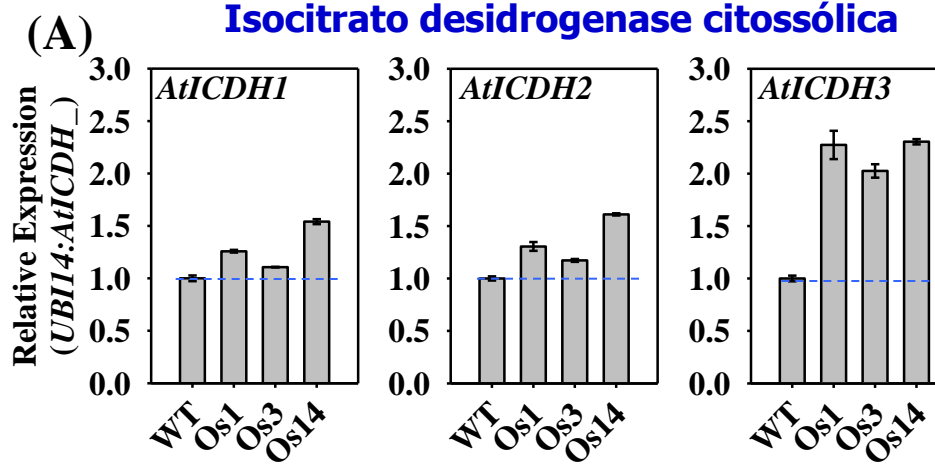


----- Raiz -----



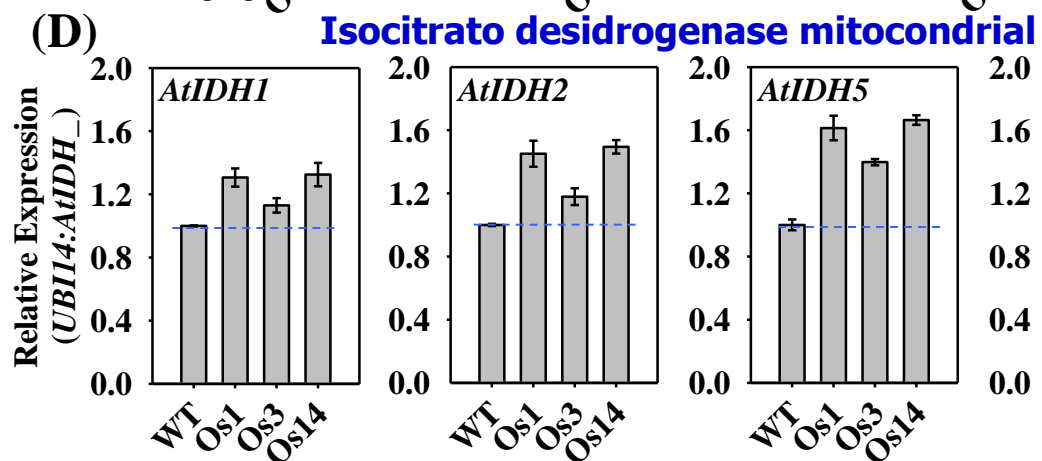
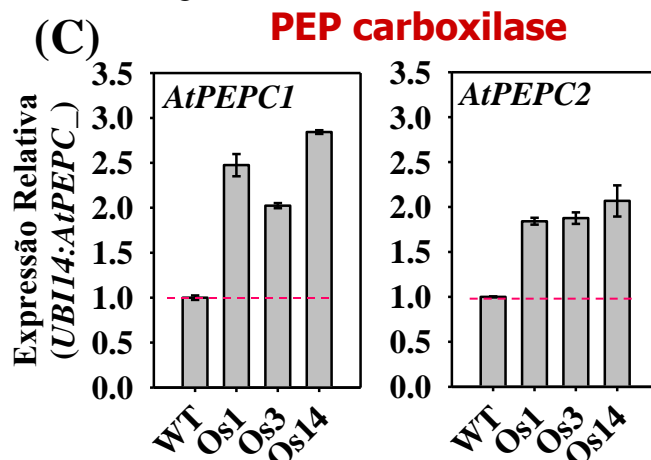
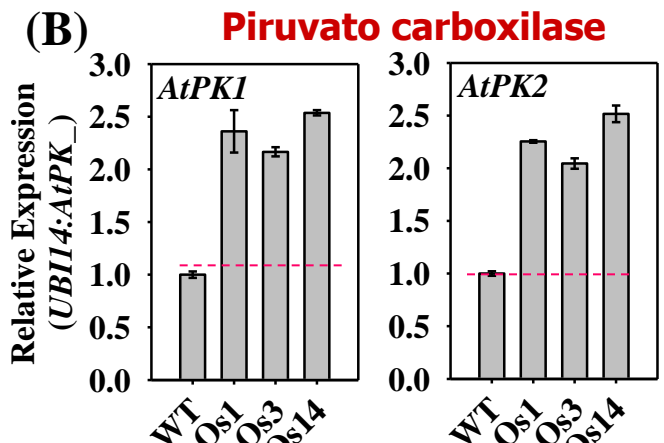
Atividade de Glutamato Desidrogenase (GDH) em gel nativo de poliacrilamida, mostrando suas sete isoenzimas.

(Santos et al., 2012)



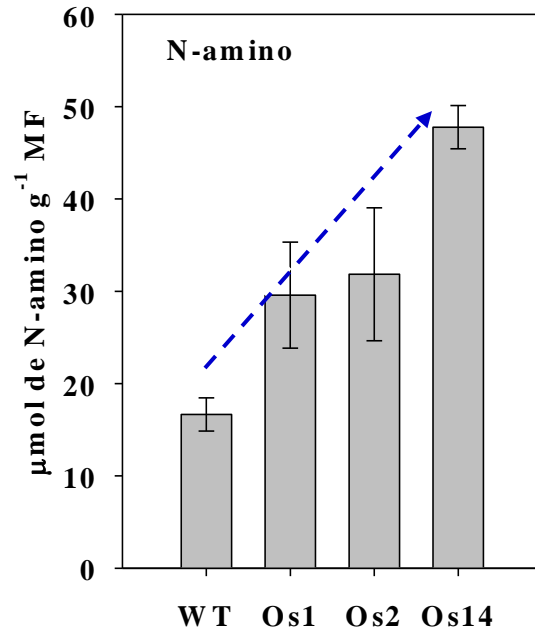
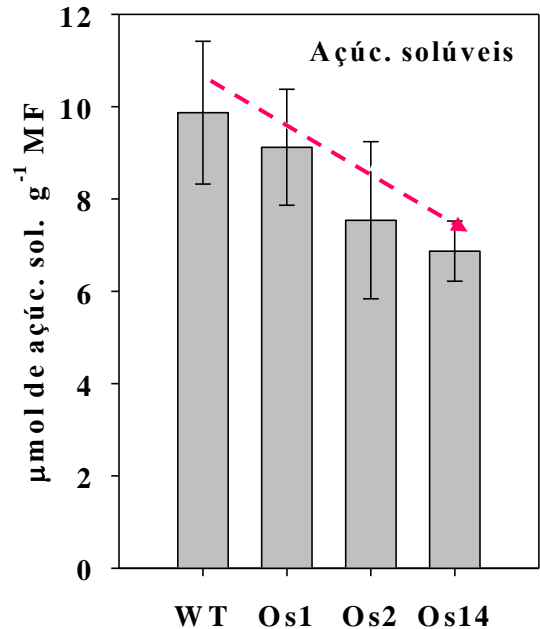
Arabidopsis Superexpressando
Dof25 de arroz

↑ Expressão de genes do
metabolismo de carbono.



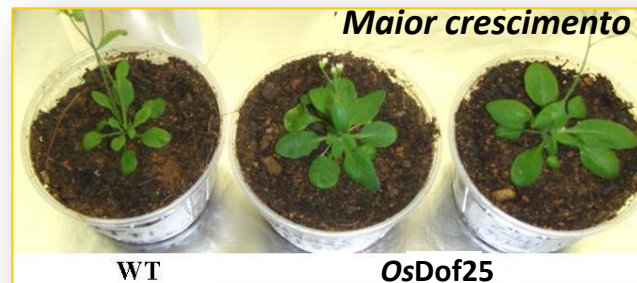
(Santos et al., 2012)

Arabidopsis Superexpressando Dof25 de arroz



Superexpressão proteína regulatória:

- Absorção e metabolismo de N
- Metabolismo de ácidos orgânicos (C)
- Maior crescimento sob baixo N



Eficiência de Absorção e Uso de N

Superexpressão e silenciamento de genes:

- Absorção e metabolismo do N
- Proteínas regulatórias
- Fatores de transcrição
- Proteínas relacionadas ao metabolismo de C

- Genômica
- Transcriptômica
- Metabolômica
- Proteômica
- Epigenômica #

➤ Identificação de variedades mais eficientes, em agricultura de baixos insumos



Obrigada!

Sonia Regina de Souza

Laboratório de Bioquímica e Nutrição de Plantas, Depto. de Química,
ICE, UFRRJ. BR 465 km 47, CEP: 23895-000 – Seropédica - RJ,
sonia_ufrrj@yahoo.com.br